

# ANALITIČKA KEMIJA II

---

- uvod; normizacija; mjeriteljstvo; intelektualno vlasništvo
- osnove statistike
- Boltzmannova raspodjela
- atomska spektroskopija
- **infracrvena (IR) i Ramanova spektroskopija**

## INFRACRVENA SPEKTROSKOPIJA (IR)

- područje:  $12800\text{--}10 \text{ cm}^{-1}$  ili  $0,78\text{--}1000 \mu\text{m}$
- podjela:
  - **blisko** (engl. *near infrared, NIR*):  $12800\text{--}4000 \text{ cm}^{-1}$  ili  $0,78\text{--}2,5 \mu\text{m}$
  - **srednje** (engl. *middle infrared, MIR*):  $4000\text{--}400 \text{ cm}^{-1}$  ili  $2,5\text{--}25 \mu\text{m}$
  - **daleko** (engl. *far infrared, FIR*):  $400\text{--}10 \text{ cm}^{-1}$  ili  $25\text{--}1000 \mu\text{m}$

- Hookeov zakon

$$v = \frac{1}{2\pi} \sqrt{\frac{k}{\mu}}$$

konstanta sile veze

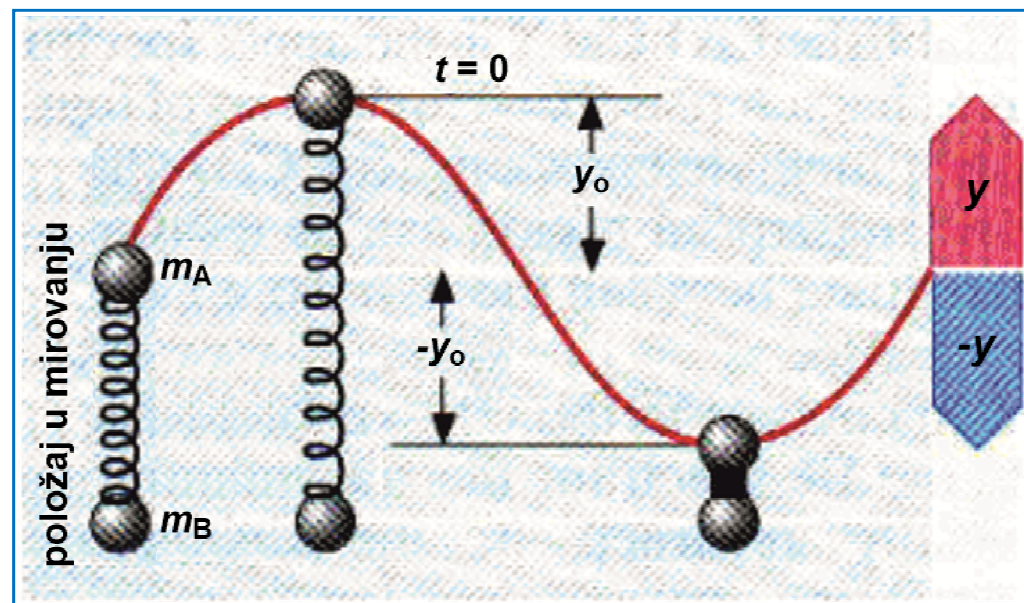
reducirana masa

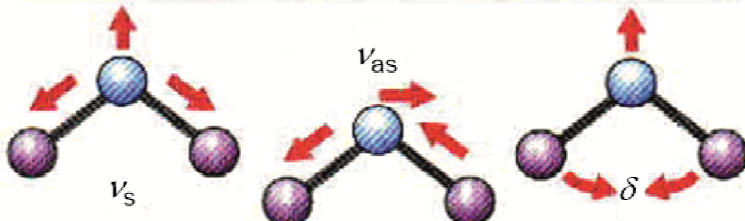
$$\tilde{v} = \frac{1}{2\pi c} \sqrt{\frac{k}{\mu}}$$

$$\mu = \frac{m_1 m_2}{m_1 + m_2}$$

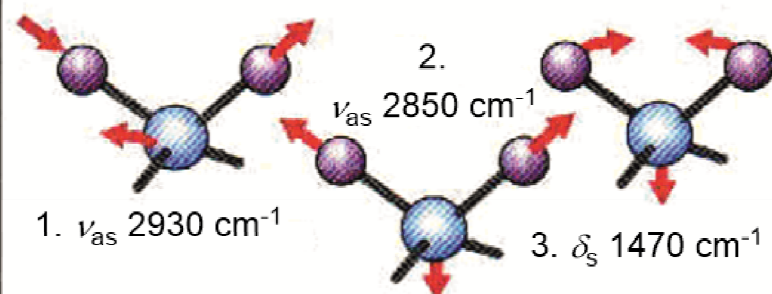
- konstanta sile veze,  $k$ :

- jednostrukje:  $5,0 \cdot 10^2 \text{ N/m}$
- dvostrukje:  $1,0 \cdot 10^3 \text{ N/m}$
- trostrukje:  $1,5 \cdot 10^3 \text{ N/m}$

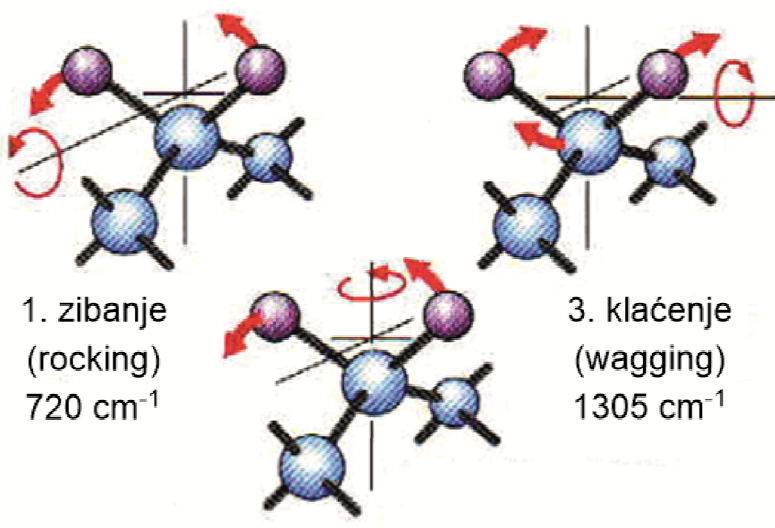




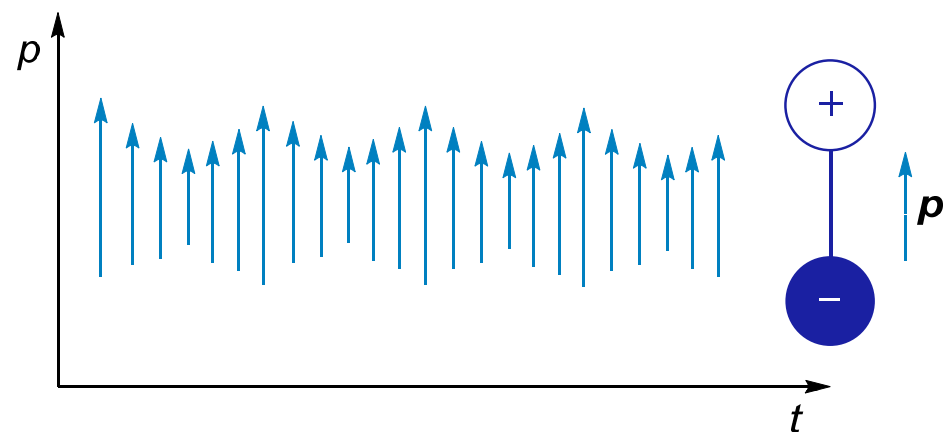
načini vibracija troatomne svinute molekule

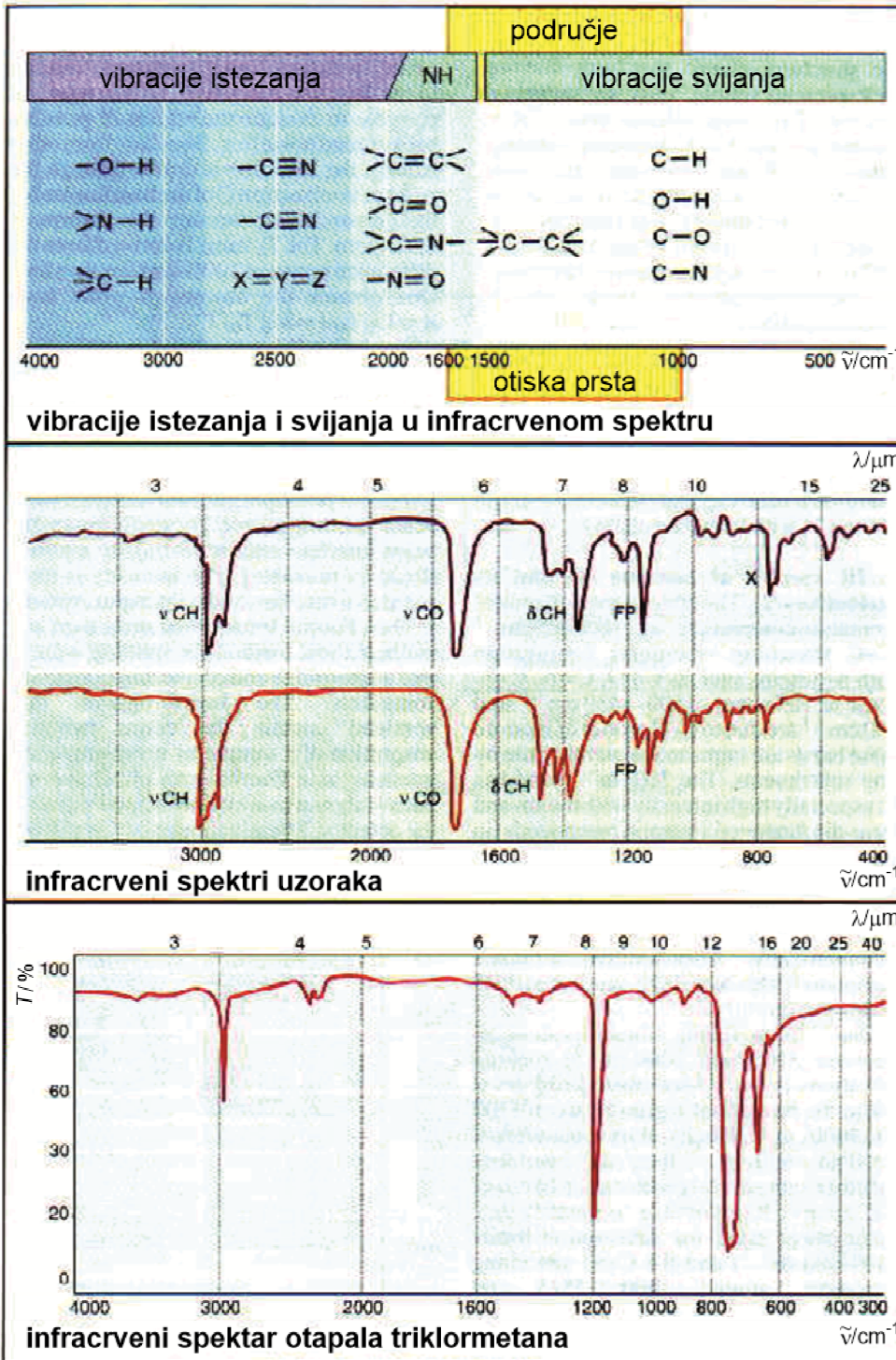


načini vibracija fragmenta  $\text{CH}_2$



- vibracije:
  - rastezanje
  - svijanje
- broj vibracija:
  - linearne molekule:  **$3N-5$**
  - nelinearne molekule:  **$3N-6$**
- uvjet aktivnosti u IR spektru:
  - **promjena električnog dipolnog momenta,  $p$**



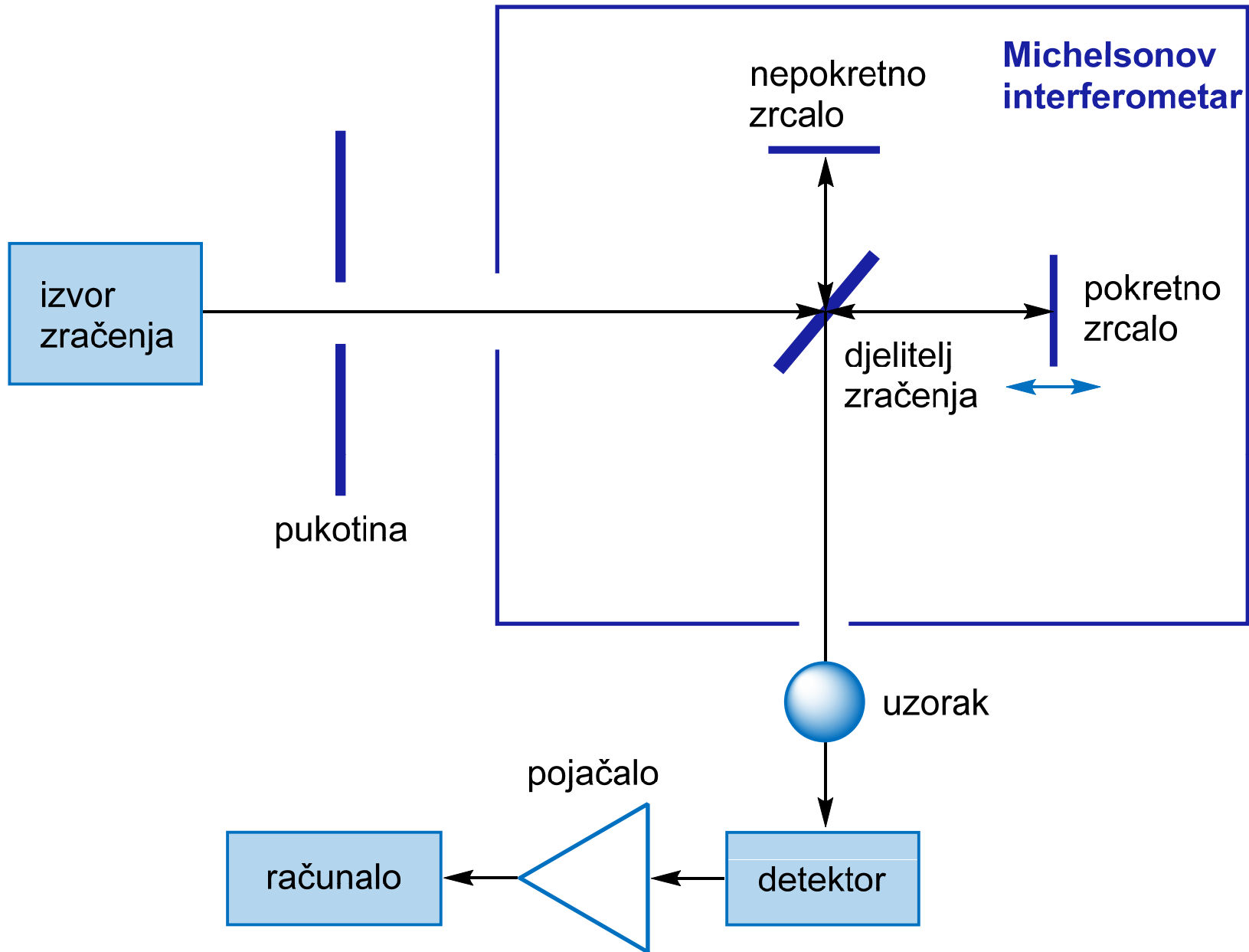


- funkcija skupine

- heksan-2-on  
(CH<sub>3</sub>CH<sub>2</sub>CH<sub>2</sub>CH<sub>2</sub>COCH<sub>3</sub>)

- heksan-3-on  
(CH<sub>3</sub>CH<sub>2</sub>CH<sub>2</sub>COCH<sub>2</sub>CH<sub>3</sub>)

- otapalo



Shematski prikaz FT-IR spektrometra

1. Infracrveni spektar CO ima vibracijski apsorpcijski maksimum pri  $2170 \text{ cm}^{-1}$ .
- Kolika je konstanta sile veze dvoatomne molekule CO?
  - Pri kojem se valnom broju pojavljuje odgovarajući maksimum  $^{14}\text{CO}$ ?

$$\tilde{\nu} = \frac{1}{2c\pi} \sqrt{\frac{k}{\mu}} \quad \Rightarrow \quad k = 4\pi^2 c^2 \mu^2 \tilde{\nu}^2$$

$$\mu = \frac{m_1 m_2}{m_1 + m_2}$$

a)  $\mu = \frac{12u \cdot 16u}{(12+16)u} = 1,14 \cdot 10^{-26} \text{ kg}$        $\tilde{\nu} = 2170 \text{ cm}^{-1} = 217000 \text{ m}^{-1}$

$$k = (217000 \text{ m}^{-1})^2 \cdot 4\pi^2 \cdot (3 \cdot 10^8 \text{ m s}^{-1})^2 \cdot 1,14 \cdot 10^{-26} \text{ kg} = 1907 \text{ N m}^{-1}$$

b)  $\mu(^{14}\text{CO}) = \frac{14u \cdot 16u}{(14+16)u} = 1,24 \cdot 10^{-26} \text{ kg}$

pretpostavka:  $k(^{12}\text{CO}) \approx k(^{14}\text{CO}) \Rightarrow \frac{\tilde{\nu}(^{12}\text{CO})}{\tilde{\nu}(^{14}\text{CO})} = \sqrt{\frac{\mu(^{14}\text{CO})}{\mu(^{12}\text{CO})}}$

$$\tilde{\nu}(^{14}\text{CO}) = \tilde{\nu}(^{12}\text{CO}) \sqrt{\frac{\mu(^{12}\text{CO})}{\mu(^{14}\text{CO})}} = 2170 \sqrt{\frac{1,14 \cdot 10^{-26}}{1,24 \cdot 10^{-26}}} = 2080 \text{ cm}^{-1}$$

2. a) Izračunajte apsorpcijsku frekvenciju koja odgovara vibraciji rastezanja veze C–H uz pretpostavku da se ta skupina ponaša kao jednostavna dvoatomna molekula C–H.
- b) Ponovite račun za deuteriranu vezu.
- c) Izračunatu vrijednost usporedite s područjem očitanim iz tablica.

$$k \text{ (jednostruka veza)} \approx 500 \text{ N m}^{-1}$$

$$\text{a)} \quad \mu(\text{C}-\text{H}) = \frac{12u \cdot 1u}{(12+1)u} = 1,53 \cdot 10^{-27} \text{ kg}$$

$$\tilde{\nu} = \frac{1}{2c\pi} \sqrt{\frac{k}{\mu}} \quad \tilde{\nu}(\text{C}-\text{H}) = \frac{1}{2\pi \cdot 3 \cdot 10^{10} \text{ cm s}^{-1}} \sqrt{\frac{500 \text{ N m}^{-1}}{1,53 \cdot 10^{-27} \text{ kg}}} = 3033 \text{ cm}^{-1}$$

$$\text{b)} \quad \mu(\text{C}-\text{D}) = \frac{12u \cdot 2u}{(12+2)u} = 2,85 \cdot 10^{-27} \text{ kg}$$

$$\tilde{\nu}(\text{C}-\text{D}) = \frac{1}{2\pi \cdot 3 \cdot 10^{10} \text{ cm s}^{-1}} \sqrt{\frac{500 \text{ N m}^{-1}}{2,85 \cdot 10^{-27} \text{ kg}}} = 2222 \text{ cm}^{-1}$$

c) podaci iz tablica:

istezanje C–H u aromatskom spoju:  $3150\text{--}3000\text{ cm}^{-1}$

istezanje C–H u alifatskom spoju:  $3000\text{--}2850\text{ cm}^{-1}$

3. Predvidite broj i način osnovnih vibracija molekule HCl.

HCl  $\rightarrow$  dvoatomna linearna molekula  $\Rightarrow$

broj vibracija:  $3N\text{--}5 = 1$  osnovni način vibriranja  $\Rightarrow$

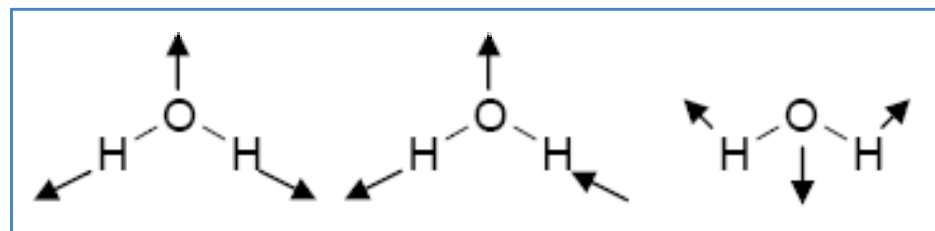
simetrično istezanje HCl:



4. Koliko osnovnih vibracijskih frekvencija možete očekivati u infracrvenom apsorpcijskom spektru: a)  $\text{H}_2\text{O}$ ; b)  $\text{CO}_2$ ?

a)  $\text{H}_2\text{O} \rightarrow$  troatomna svinuta molekula  $\Rightarrow$  broj vibracija:

$$3N-6 = 3 \text{ osnovna načina vibriranja:}$$



b)  $\text{CO}_2 \rightarrow$  troatomna linearna molekula  $\Rightarrow$  broj vibracija:

$$3N-5 = 4 \text{ osnovna načina vibriranja:}$$

$\overleftarrow{\text{O}} = \text{C} = \overrightarrow{\text{O}}$	simetrično rastezanje	IR-neaktivno
$\overleftarrow{\text{O}} = \overleftarrow{\text{C}} = \overrightarrow{\text{O}}$	nesimetrično rastezanje	IR-aktivno
$\uparrow\text{O} = \text{C} = \text{O} \uparrow$	svijanje u ravnini	degenerirane vibracije
$+ \text{O} = \overline{\text{C}} = \text{O} +$	svijanje izvan ravnine	

5. Skicirajte osnovne načine titranja: a) CO; b) N<sub>2</sub>.

Infracrveni spektar jednog od ovih plinova ima snažnu apsorpcijsku vrpcu pri 2143 cm<sup>-1</sup> i slabu pri 4260 cm<sup>-1</sup>. Kojem plinu odgovara ovaj spektar?

Navedene apsorpcijske vrpce pripisite odgovarajućim vibracijama.

- |    |  |                       |              |
|----|--|-----------------------|--------------|
| a) | $\begin{array}{c} \leftarrow \\ \text{C} = \text{O} \\ \rightarrow \end{array}$      | simetrično rastezanje | IR-aktivno   |
| b) | $\begin{array}{c} \leftarrow \\ \text{N} \equiv \text{N} \\ \rightarrow \end{array}$ | simetrično rastezanje | IR-neaktivno |

Spektar odgovara plinu CO čije se vibracije pojavljuju pri:

2143 cm<sup>-1</sup> → osnovna vibracija

4260 cm<sup>-1</sup> → prvi gornji ili viši ton ("overtone").

6. Dušikov dioksid,  $\text{NO}_2$ , ima s obzirom na broj atoma u molekuli mogućnost postojanja u linearnoj ili svinutoj konfiguraciji. IR spektar  $\text{NO}_2$  sadrži tri jake vrpce pri  $1616 \text{ cm}^{-1}$ ,  $1323 \text{ cm}^{-1}$  i  $750 \text{ cm}^{-1}$ .

Na temelju navedenih podataka prepostavite vjerojatnu konfiguraciju  $\text{NO}_2$ . Koje se vibracije mogu pripisati navedenim vrpcama?

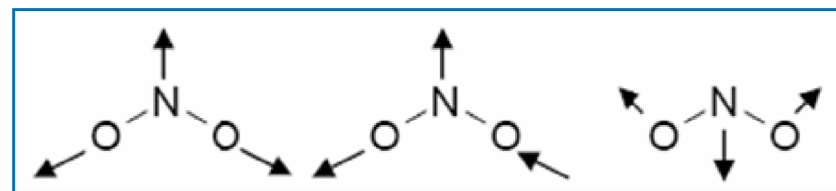


- I. prepostavka: linearna konfiguracija  $\Rightarrow$   
broj vibracija:  $3N-5 = 4$  osnovna načina titranja

$\overleftarrow{\text{O}} = \text{N} = \overrightarrow{\text{O}}$	simetrično rastezanje	IR-neaktivno
$\overleftarrow{\text{O}} = \overleftarrow{\text{N}} = \overrightarrow{\text{O}}$	nesimetrično rastezanje	IR-aktivno
$\uparrow\text{O} = \text{N} = \text{O} \uparrow$ $\downarrow$	svijanje u ravnini	degenerirane vibracije
$+\text{O} = \bar{\text{N}} = \text{O} +$	svijanje izvan ravnine	

rezultat: postoje 2 vibracije aktivne u infracrvenom spektru

II. prepostavka: svinuta konfiguracija  $\Rightarrow$   
broj vibracija:  $3N-6 = 3$  osnovna načina titranja



simetrično istezanje $1323 \text{ cm}^{-1}$ (7,56 $\mu\text{m}$ )	asimetrično istezanje $1616 \text{ cm}^{-1}$ (6,19 $\mu\text{m}$ )	svijanje $750 \text{ cm}^{-1}$ (13,33 $\mu\text{m}$ )
--	---	---

rezultat: postoje 3 vibracije aktivne u infracrvenom spektru

rješenje:  $\text{NO}_2$  je svinute konfiguracije

7. Jesu li navedene vibracije aktivne ili neaktivne u infracrvenom spektru?

molekula

- a)  $\text{CH}_3\text{-CH}_3$
- b)  $\text{CH}_3\text{-CCl}_3$
- c)  $\text{SO}_2$
- d)  $\text{CH}_2=\text{CH}_2$

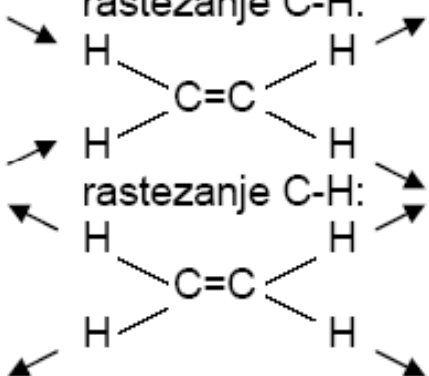
- e)  $\text{CH}_2=\text{CH}_2$

- f)  $\text{CH}_2=\text{CH}_2$

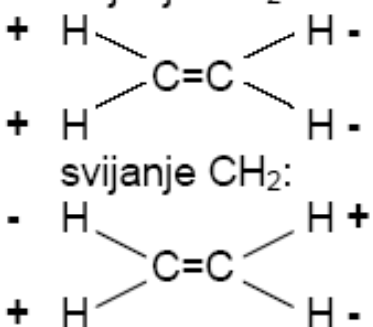
- g)  $\text{CH}_2=\text{CH}_2$

način gibanja

- rastezanje C-C
- rastezanje C-C
- simetrično rastezanje
- rastezanje C-H:



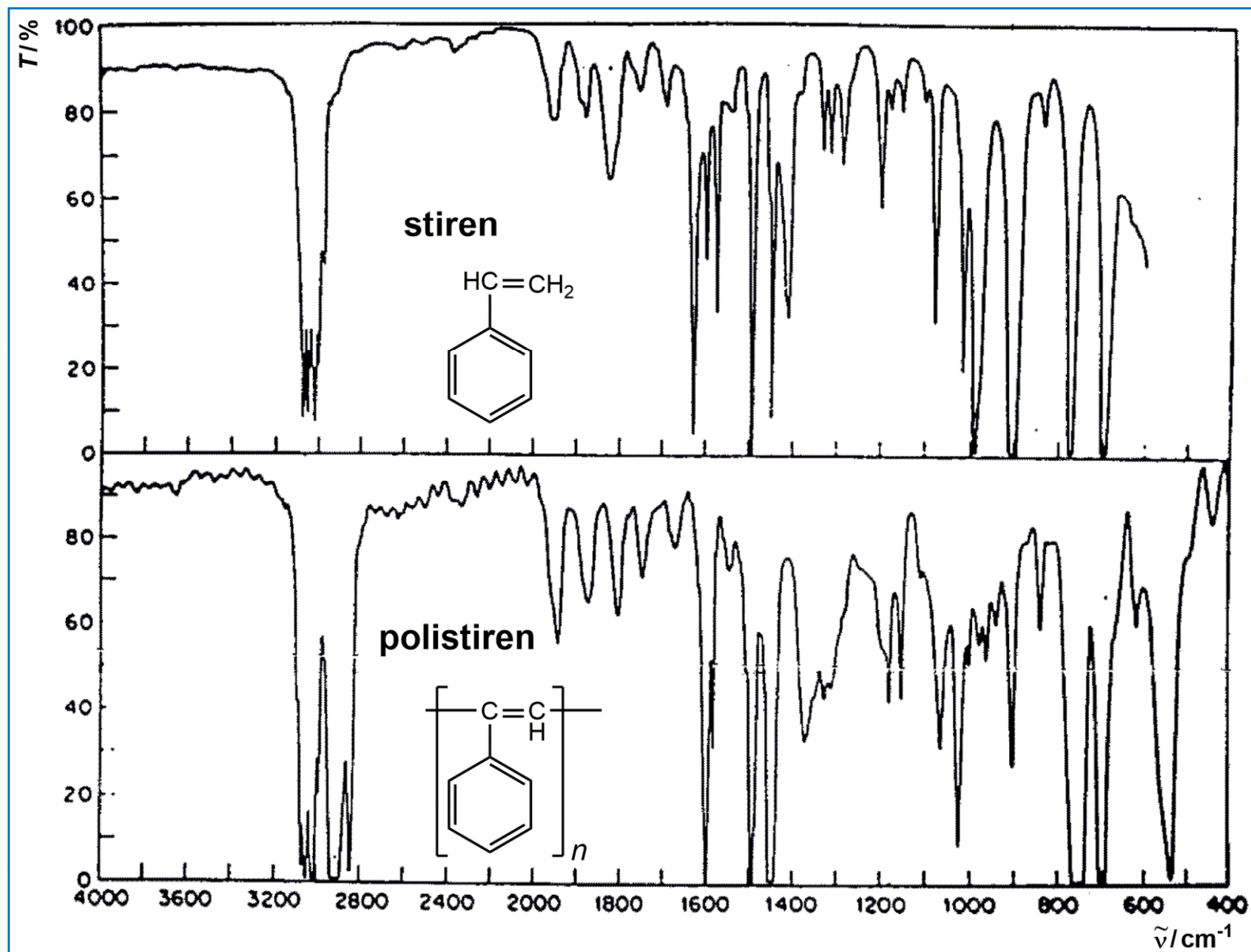
svijanje  $\text{CH}_2$ :



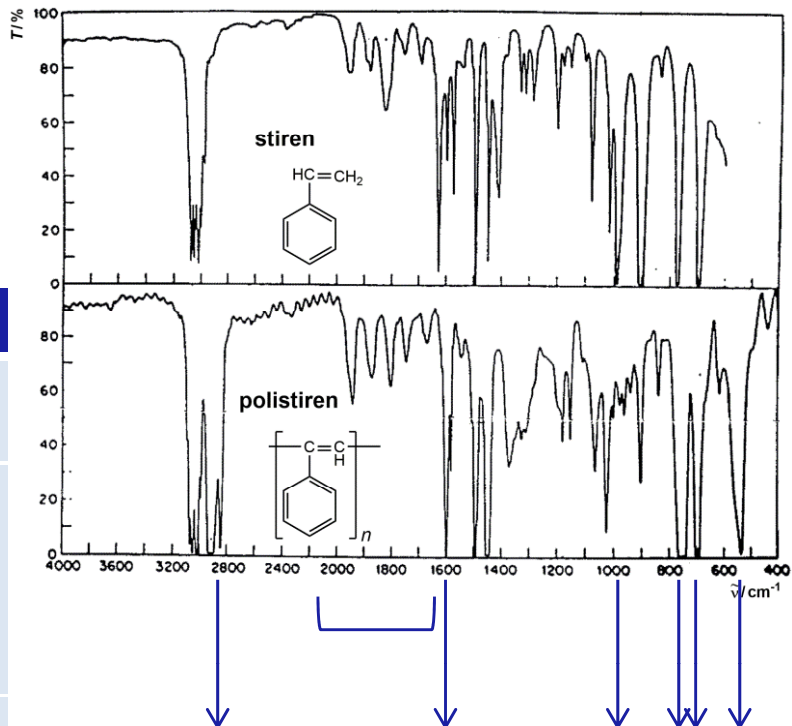
rješenje:

- a) IR-neaktivno;
- b) IR-aktivno;
- c) IR-aktivno;
- d) IR-aktivno;
- e) IR-neaktivno;
- f) IR-neaktivno;
- g) IR-neaktivno.

8. Asignirajte glavne apsorpcijske vrpce u infracrvenom spektru stirena. Objasnite promjene u spektru polistirena (stiropora).



Stiren		Polistiren	
$> 3000 \text{ cm}^{-1}$	istezanje C–H, aromatsko i olefinsko	$< 3000 \text{ cm}^{-1}$	istezanje C–H, zasićeni -CH–CH <sub>2</sub> -
$\approx 2000\text{--}1700 \text{ cm}^{-1}$	kombinacije i gornji tonovi – uzorak karakterističan za supstituente na aromatu	$\approx 2000\text{--}1700 \text{ cm}^{-1}$	kombinacije i gornji tonovi – uzorak karakterističan za supstituente na aromatu
$1630 \text{ cm}^{-1}$	istezanje C=C olefina (vinilna skupina)		nestaje olefinsko istezanje C=C
$1600\text{--}1550 \text{ cm}^{-1}$	istezanje C=C aromatskog prstena	$1600\text{--}1550 \text{ cm}^{-1}$	istezanje C=C aromatskog prstena mijenja intenzitete
$990\pm 5 \text{ cm}^{-1}$ $910\pm 5 \text{ cm}^{-1}$	svijanje (deformacija) izvan ravnine C–H veza vinilne skupine (olefin)		nestaje C–H svijanje vinilne skupine
$780 \text{ cm}^{-1}$	svijanje (deformacija) aromatskog C–H	$780 \text{ cm}^{-1}$	svijanje (deformacija) aromatskog C–H
$690 \text{ cm}^{-1}$	deformacija prstena	$690 \text{ cm}^{-1}$	deformacija prstena
		$530 \text{ cm}^{-1}$	deformacija polistirenskog lanca



## TEHNIKE SNIMANJA IR SPEKTARA

- krutine
  - razmuljivanje u ulju prozirnom u IR-u (parafinsko ulje, i sl.)
  - miješanje s KBr, prešanje u pastilu
- plinovi
  - ekspanzija plina ili hlapljive tekućine u evakuiranim kivetama, duljine od nekoliko centimetara do nekoliko metara
- tekućine
  - ubrizgavanje u posebno građene kivete

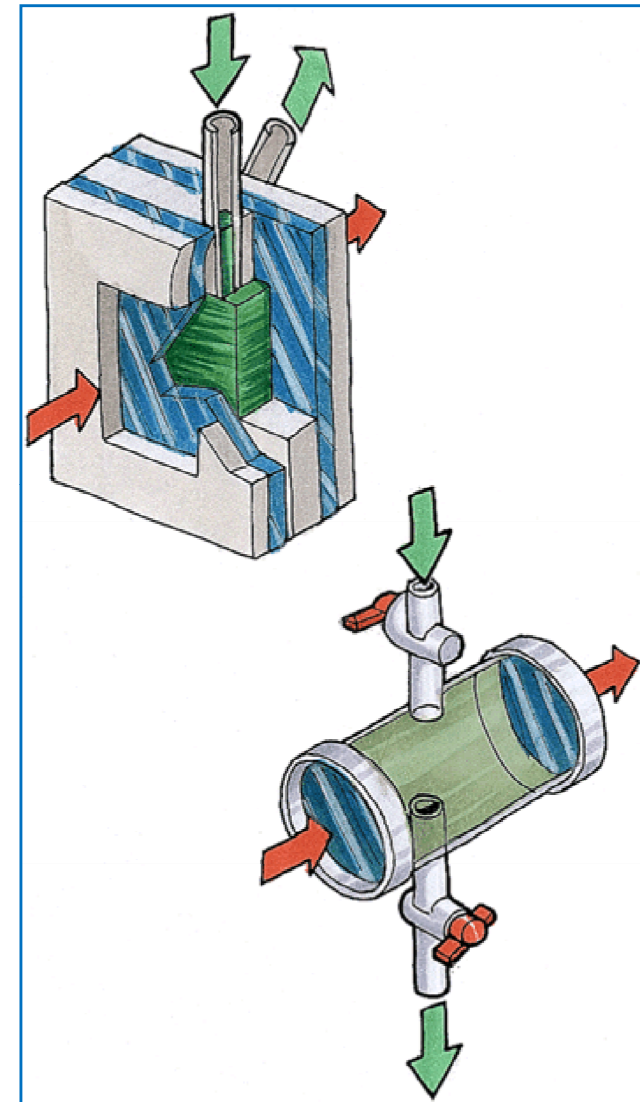


KBr pastile → IR





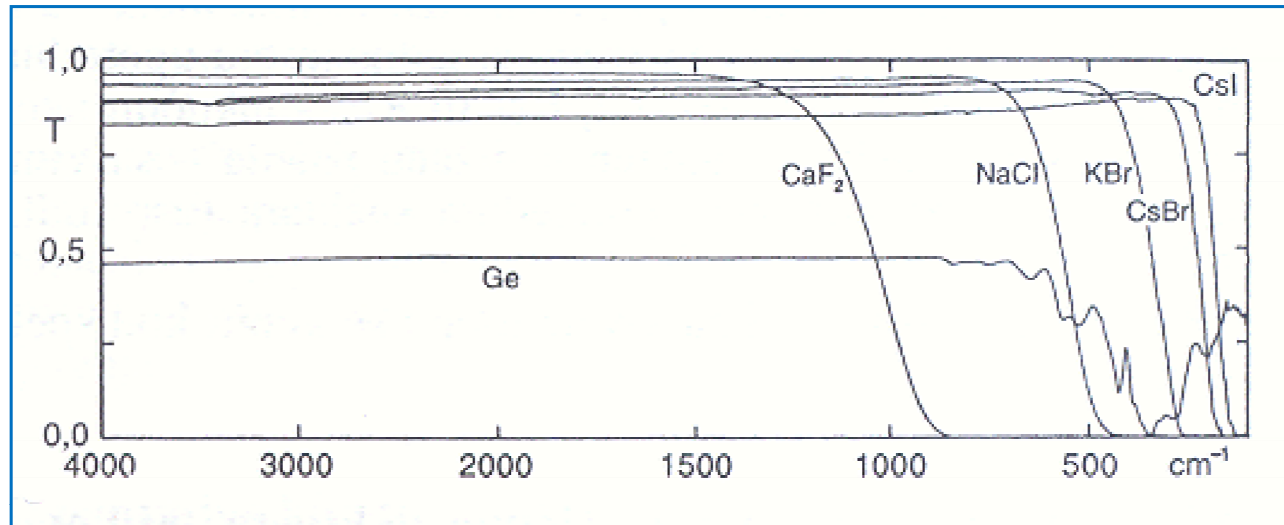
kivete → IR



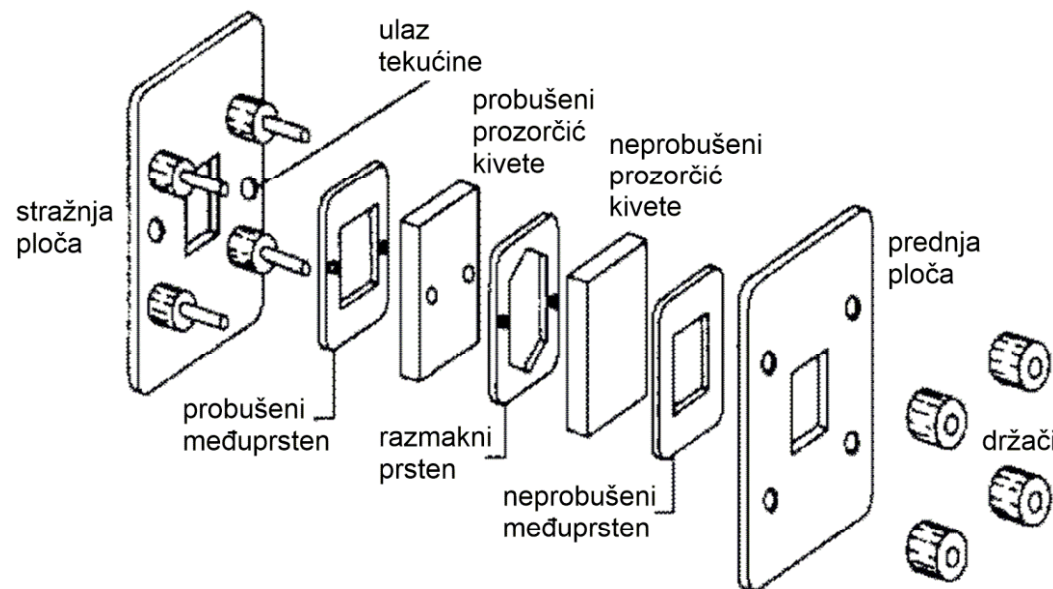
- područja prozirnosti različitih otapala za infracrveno zračenje  
**(označena horizontalnom linijom)**



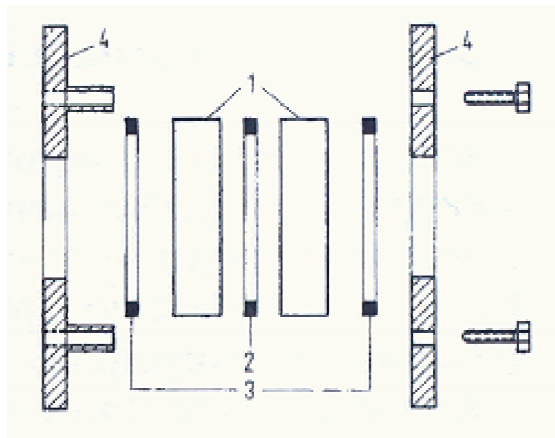
- materijali za prozore kiveta



- izgled kivete za snimanje IR spektara tekućina (debljina 0,01 mm–1 mm)

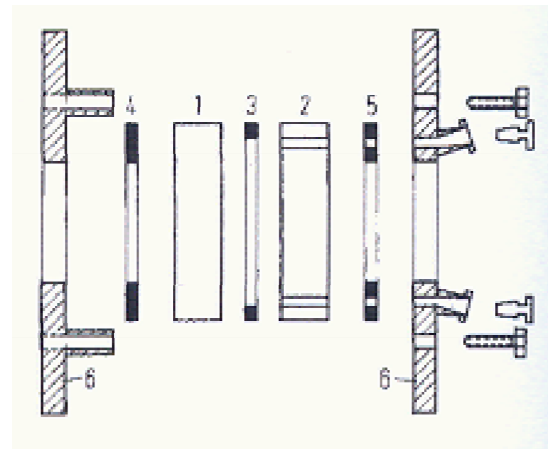


## Rastavljiva kiveta



- 1 – prozorčići kivete
- 2 – prsten za razmak (razmakni prsten)
- 3 – međuprsten
- 4 – okvir

## Kiveta za kvantitativna mjerena na tekućinama



- 1 – neprobušeni prozorčići kivete
- 2 – probušeni prozorčići kivete
- 3 – razmakni prsten
- 4 – međuprsten
- 5 – probušeni međuprsten
- 6 – držači

# ODREĐIVANJE DEBLJINE SLOJA UZORKA (DEBLJINE KIVETE)

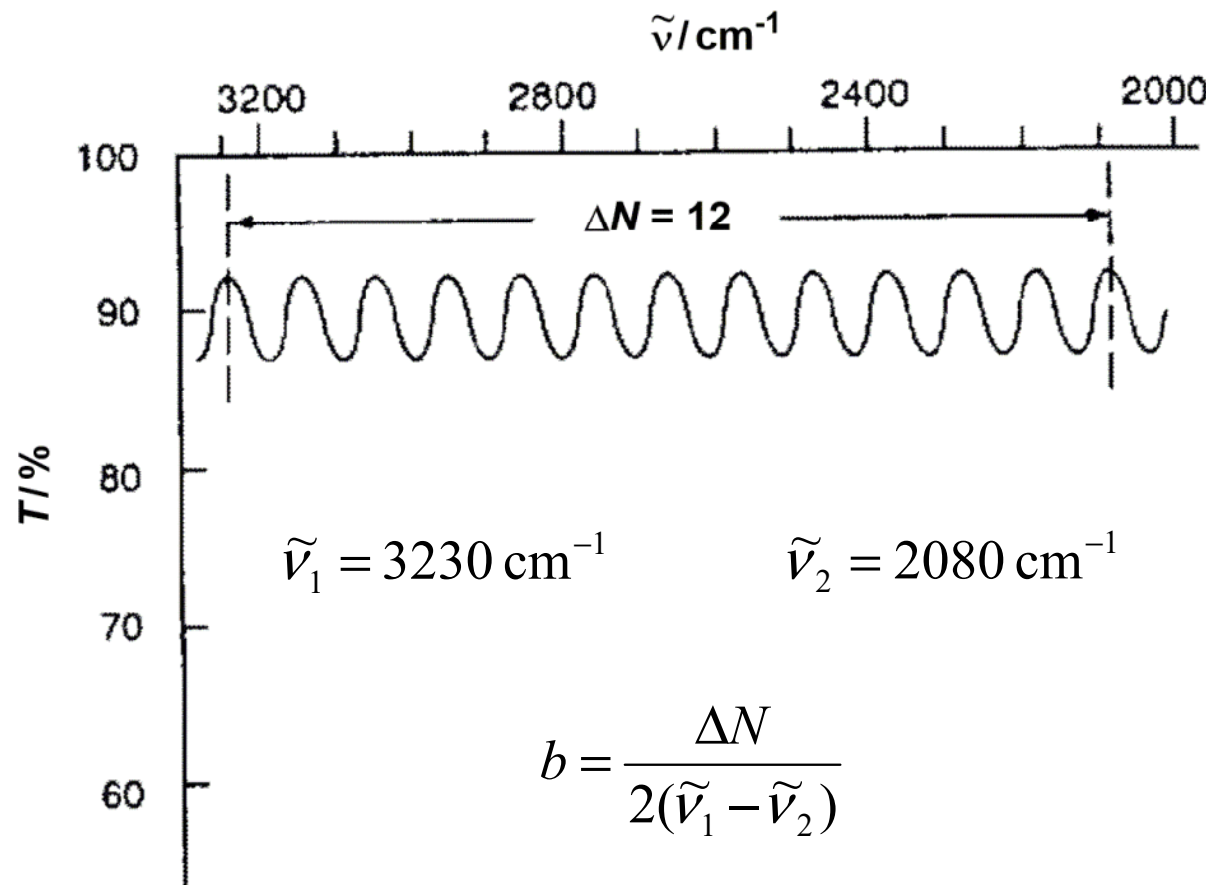
- snimka prazne kivete
  - maksimum se pojavljuje kada je zračenje reflektirano s dvije unutarnje plohe, prošlo put jednak cijelom broju  $N$  valnih duljina propuštenog zračenja
- račun duljine puta
  - konstruktivna interferencija:  $\lambda = \frac{2b}{N}$
  - računa se broj interferencijskih maksimuma (minimuma) između dvije valne duljine,  $\lambda_1$  i  $\lambda_2$ :

$$\Delta N = \frac{2b}{\lambda_1} - \frac{2b}{\lambda_2}$$

$$b = \frac{\Delta N}{2} \cdot \frac{\lambda_1 \lambda_2}{(\lambda_2 - \lambda_1)}$$

$$b = \frac{\Delta N}{2} \cdot \frac{1}{(\tilde{\nu}_1 - \tilde{\nu}_2)}$$

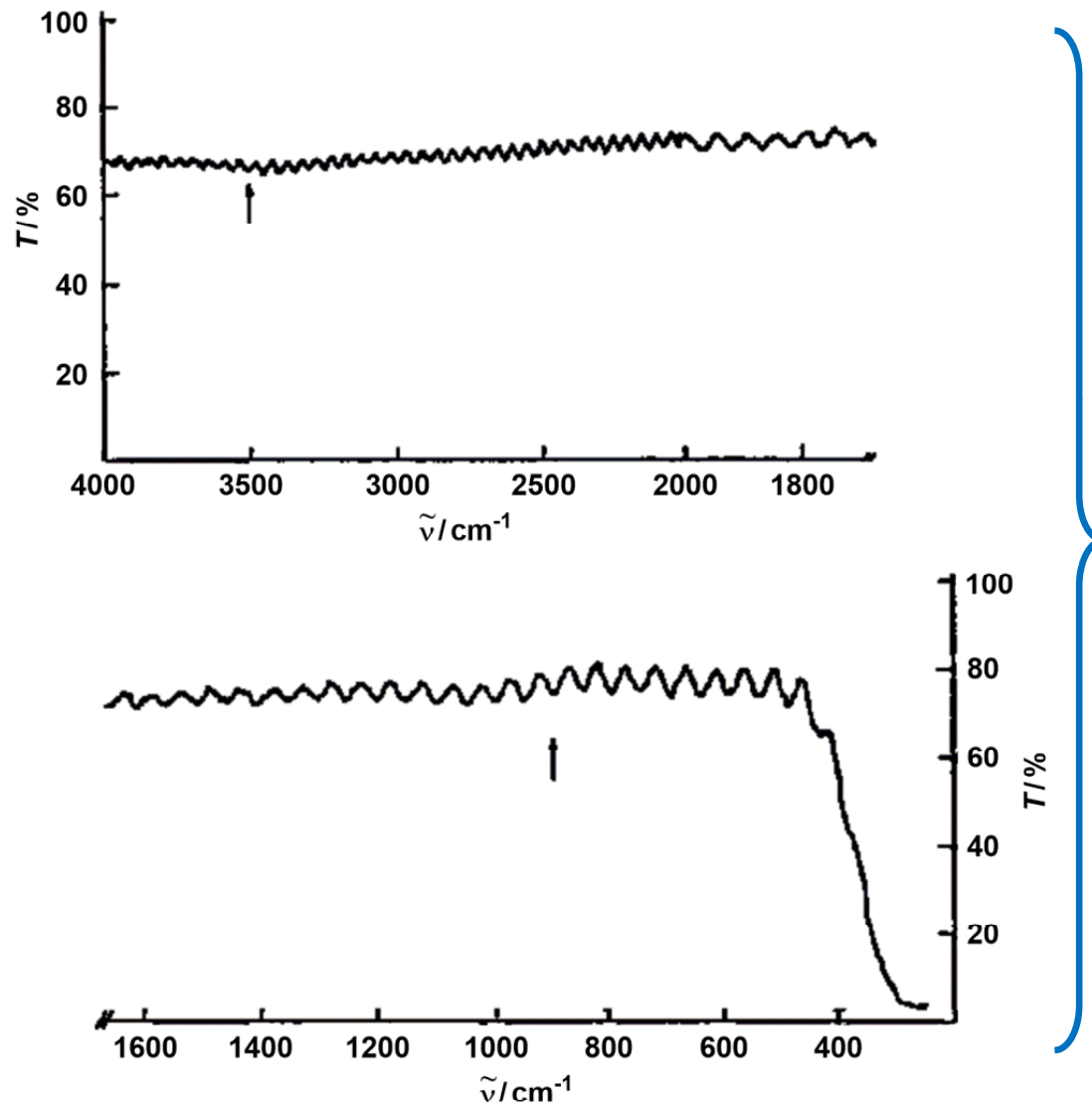
## Primjer: određivanje debljine kivete



$$b = \frac{\Delta N}{2(\tilde{\nu}_1 - \tilde{\nu}_2)}$$

$$b = \frac{12}{2(3230 - 2080)} = 0,0052 \text{ cm}$$

9. Na temelju priložene interferencijske slike izračunajte debljinu kivete za snimanje otopina u infracrvenoj spektroskopiji.



$$\tilde{\nu}_1 = 3500 \text{ cm}^{-1} = 350 \text{ mm}^{-1}$$

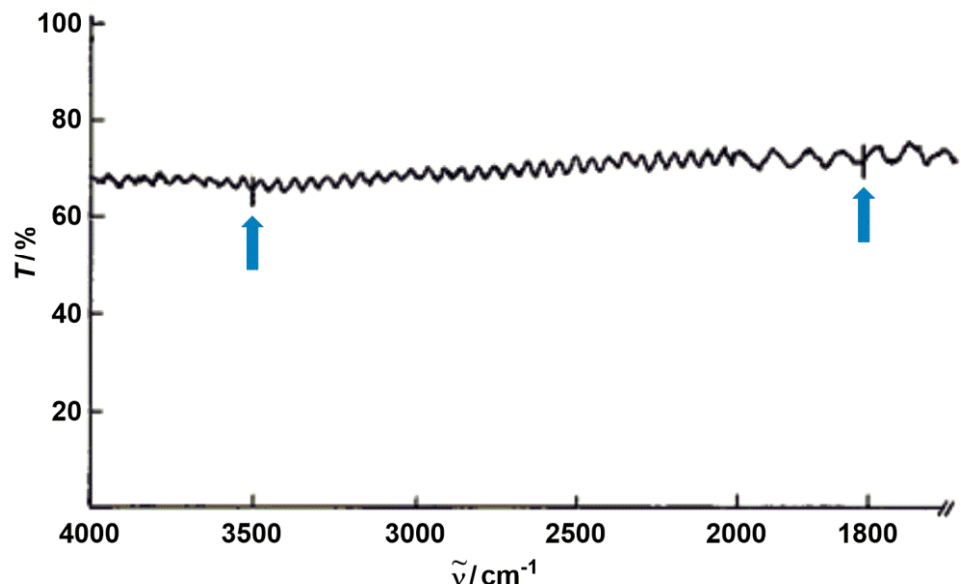
$$\tilde{\nu}_2 = 900 \text{ cm}^{-1} = 90 \text{ mm}^{-1}$$

$$\Delta N = 51 \text{ minimum}$$

$$b = \frac{\Delta N}{2(\tilde{\nu}_1 - \tilde{\nu}_2)}$$

$$b = \frac{51}{2(350 - 90)} = 0,098 \text{ mm}$$

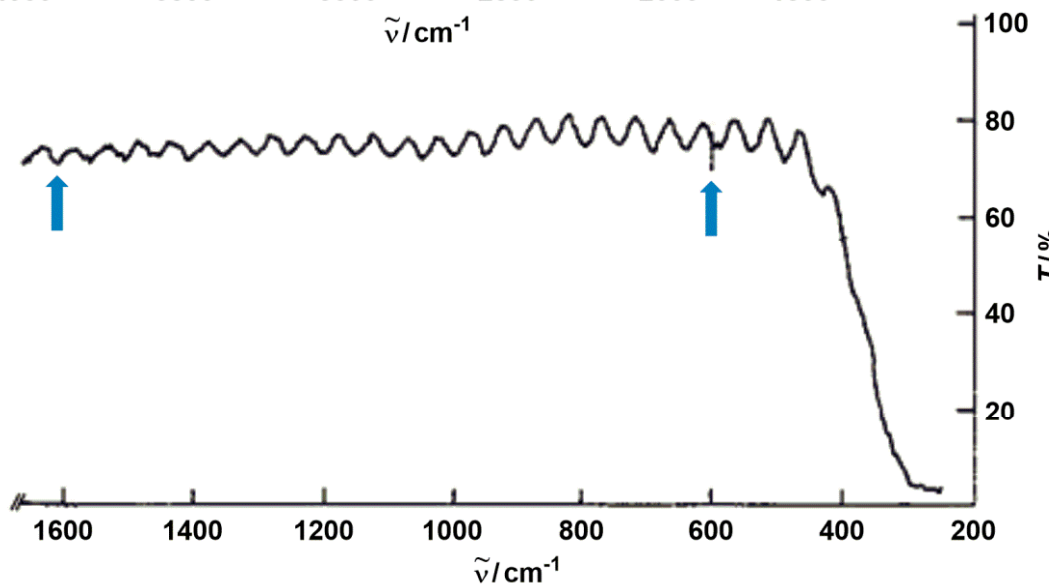
10. Odredite debljinu kivete čija je interferencijska slika prikazana u prilogu.



$$\begin{aligned}\tilde{\nu}_1 &= 3500 \text{ cm}^{-1} \\ \tilde{\nu}_2 &= 1800 \text{ cm}^{-1} \\ \Delta N &= 34 \text{ minimuma}\end{aligned}$$

---

$$b = \frac{5(34)}{3500 - 1800} = 0,100 \text{ mm}$$

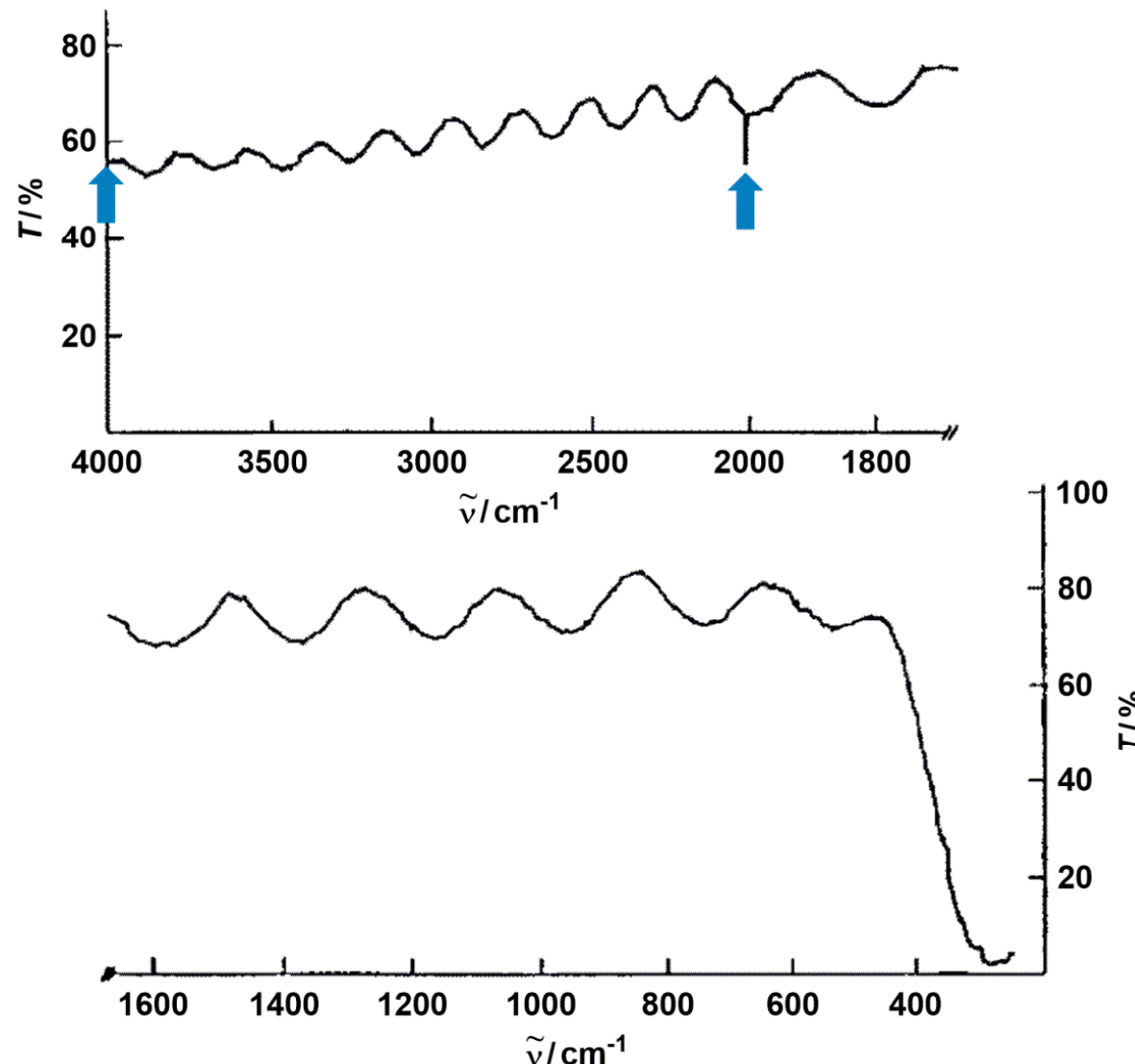


$$\begin{aligned}\tilde{\nu}_1 &= 1600 \text{ cm}^{-1} \\ \tilde{\nu}_2 &= 600 \text{ cm}^{-1} \\ \Delta N &= 21 \text{ minimuma}\end{aligned}$$

---

$$b = \frac{5(21)}{1600 - 600} = 0,105 \text{ mm}$$

11. Odredite duljinu optičkog puta kivete prema priloženom interferogramu.



$$\tilde{\nu}_1 = 4000 \text{ cm}^{-1}$$

$$\tilde{\nu}_2 = 2000 \text{ cm}^{-1}$$

$$\Delta N = 10$$

$$b = \frac{5(10)}{4000 - 2000} = 0,025 \text{ mm}$$

12. Praznoj kiveti određeni su transmitancijski maksimumi pri  $1000\text{ cm}^{-1}$ ,  $1050\text{ cm}^{-1}$ ,  $1100\text{ cm}^{-1}$ , ... Kolika joj je debljina, uz pretpostavku da je  $n = 1$ , a zračenje pada okomito na stijenke?

$$\tilde{\nu}_1 = 1000\text{ cm}^{-1}$$

$$\tilde{\nu}_2 = 1050\text{ cm}^{-1}$$

$$\tilde{\nu}_3 = 1100\text{ cm}^{-1}$$

$$n = 1$$

$$m\lambda = 2bn$$

$$b = \frac{m\lambda}{2n}$$

$$\lambda = \frac{1}{\tilde{\nu}}$$

$$b = \frac{m}{2n\tilde{\nu}} \Rightarrow 2b = \frac{m}{n\tilde{\nu}}$$

$$2b = \frac{m_1}{1000 \cdot 1} \Rightarrow 2000b = m_1$$

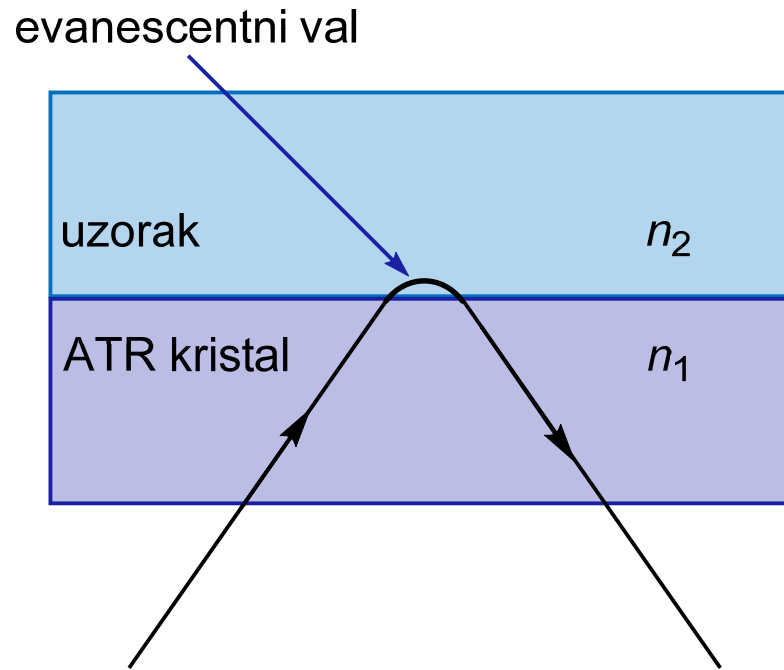
$$2b = \frac{m_1 + 1}{1050 \cdot 1} \Rightarrow 2100b = m_1 + 1$$

$$2100b = 2000b + 1 \Rightarrow b = 0,01\text{ cm}$$

## **INFRACRVENA SPEKTROSKOPIJA S UNUTARNJOM REFLEKSIJOM**

- tehnika snimanja infracrvenih spektara uzoraka koje je teško snimiti na uobičajen način
- to mogu biti krutine ograničene topljivosti, filmovi, ljepila, niti, paste, prašci, polimeri, gume i sl.
- snop zračenja se reflektira prilikom prolaska iz optički gušćeg u rjeđe sredstvo
- reflektirani dio upadnog zračenja proporcionalan je kutu upada

- refleksija je potpuna pri vrijednosti kritičnog kuta,  $\Theta_c$
- zračenje neznatno prodire u površinu s koje se reflektira
  - ta se pojava naziva **evanescentni val**
  - ovisi o valnoj duljini, indeksima loma dvaju materijala i kutu upada zračenja
- pritom dolazi do prigušenja snopa zračenja  $\Rightarrow$  prigušena ukupna refleksija (engl. **attenuated total reflection, ATR**)
- uzorak se učvrsti uz optički proziran ATR element predviđen za višestruku refleksiju



**Shema procesa na ATR elementu**

- ATR element ima vrlo velik indeks loma (najčešće kristal ZnSe)
- zračenje se propusti kroz element i reflektira s površine uzorka
- pritom neznatno prodire u uzorak i prigušuje se zbog apsorpcije

- **Snellov zakon:** izračunavanje kuta loma prilikom prelaska zračenja iz jednog sredstva u drugo

$$n_1 \sin a = n_2 \sin b \quad \left. \right\} \begin{array}{l} n_1, n_2 = \text{indeksi loma dva sredstva} \\ a = \text{upadni kut} \\ b = \text{kut loma} \end{array}$$

- s povećanjem kuta  $a$ , raste kut  $b$
- za  $n_2 < n_1$ , postoji kut  $a$ , za koji je  $b$  jednak  $90^\circ \Rightarrow$  zračenje je potpuno reflektirano - takav kut  $a$  je **kritični kut  $\Theta_c$**
- zračenje koje pada na površinu između dva medija pod kutom većim od kritičnog kuta, **potpuno se reflektira od površine**

- račun kritičnog kuta:

$$n_1 \sin \Theta_c = n_2 \sin 90^\circ \Rightarrow \Theta_c = \sin^{-1} \frac{n_2}{n_1}$$

- kritični kut ovisan je o razlici indeksa loma dva sredstva
- materijal prizme treba odabratи tako da:
  - propušta zračenje
  - ima indeks loma veći od indeksa loma uzorka
- propusnost materijala za infracrveno zračenje:
  - AgBr  $\Rightarrow 330\text{--}2,0 \cdot 10^4 \text{ cm}^{-1}$
  - AgCl  $\Rightarrow 500\text{--}2,5 \cdot 10^4 \text{ cm}^{-1}$
  - CdTe  $\Rightarrow 430\text{--}1 \cdot 10^4 \text{ cm}^{-1}$
  - Ge  $\Rightarrow 830\text{--}5000 \text{ cm}^{-1}$
  - KRS-5  $\Rightarrow 250\text{--}1,7 \cdot 10^4 \text{ cm}^{-1}$
  - ZnSe  $\Rightarrow 670\text{--}2 \cdot 10^4 \text{ cm}^{-1}$

- indeksi loma dva sredstva funkcija su valne duljine
- upadni kut mora biti veći od kritičnog za sve valne duljine
- općenito, upadni kut može se odrediti pomoću jednadžbe:

$$a + 3 = \sin^{-1} \frac{n_2 + 0,2}{n_1}$$

- dubina prodiranja povezana je s relativnim indeksima loma
- međusobnim približavanjem indeksa loma  $n_1$  i  $n_2$ , povećava se dubina prodiranja
- treba koristiti prizmu s kutom od  $45^\circ$  ili  $60^\circ$
- upadno zračenje treba padati okomito na prizmu kako bi se smanjila refleksija i lom

13. a) Izračunajte kritični kut između prizme indeksa loma 2,03 i uzorka indeksa loma 1,34.
- b) Odredite kut pod kojim mora ulaziti upadno zračenje da se dobije ATR-spektar uzorka.

$$n_1 = 2,03$$

$$\underline{n_2 = 1,34}$$

Snellov zakon:  $n_1 \sin a = n_2 \sin b$

$a$  raste  $\Rightarrow b$  raste

kada je  $n_2 < n_1$ , postoji neki  $a$  za  $b = 90^\circ$

(pri  $b = 90^\circ$  zračenje je potpuno reflektirano)

$$a = \Theta_c, b = 90^\circ$$

a) kritični kut:

$$n_1 \sin \Theta_c = n_2 \sin 90^\circ$$

$$\sin \Theta_c = \frac{n_2}{n_1} \Rightarrow \sin \Theta_c = \frac{1,34}{2,03} = 0,660 \Rightarrow \Theta_c = 41,31^\circ$$

b) upadni kut:

$$\sin(a + 3) = \frac{n_2 + 0,2}{n_1} = \frac{1,34 + 0,2}{2,03} = 0,759 \Rightarrow a + 3 = 49,34^\circ \Rightarrow a = 46,34^\circ$$

14. a) Izračunajte kritični kut između prizme indeksa loma 2,12 i uzorka indeksa loma 1,28.
- b) Odredite kut upadnog zračenja koji treba upotrijebiti za opisani uzorak i prizmu.

$$\sin \Theta_c = \frac{1,28}{2,12} = 0,604 \Rightarrow \Theta_c = 37,14^\circ$$

$$\sin(a + 3) = \frac{1,28 + 0,2}{2,12} = 0,698 \Rightarrow a + 3 = 44,28^\circ \Rightarrow a = 41,28^\circ$$

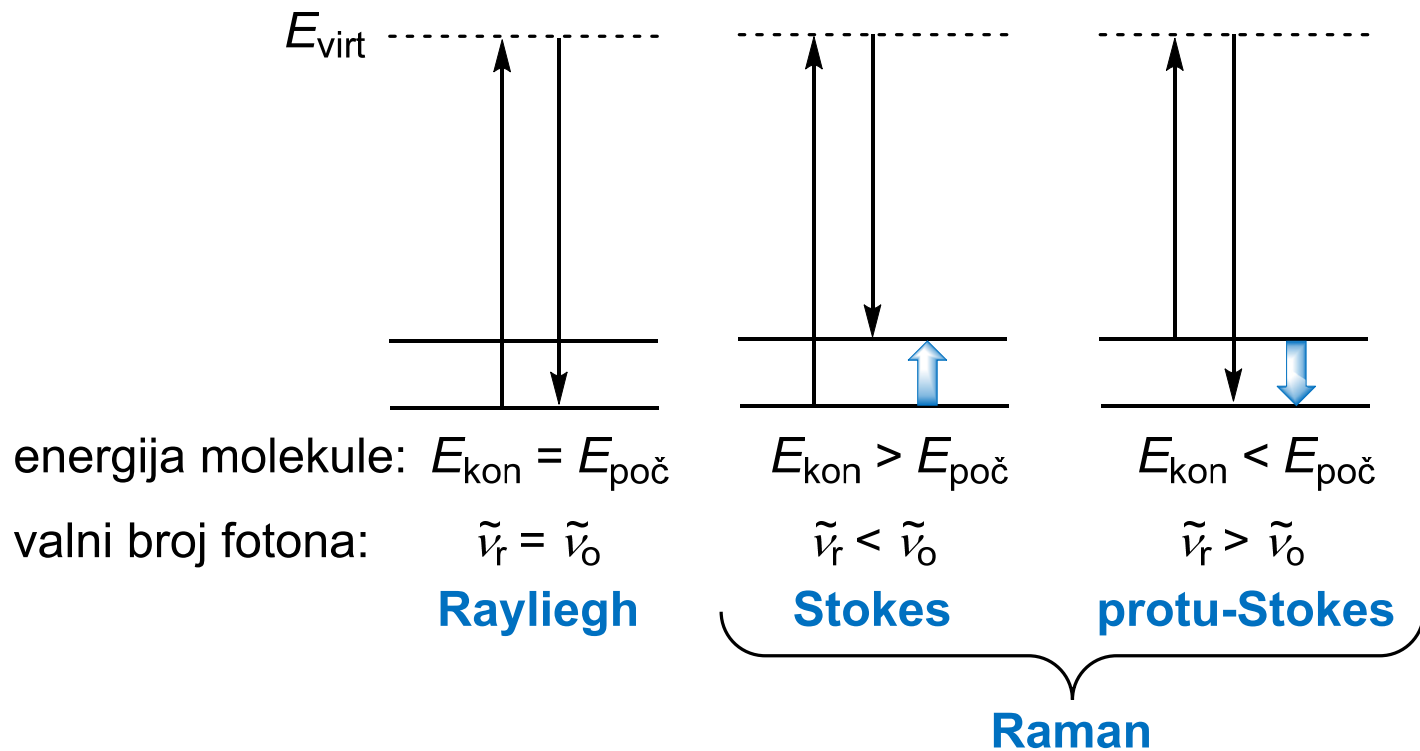
15. a) Izračunajte kritični kut između prizme indeksa loma 1,95 i uzorka indeksa loma 1,31.
- b) Odredite kut upadnog zračenja koji treba upotrijebiti za opisani uzorak i prizmu.

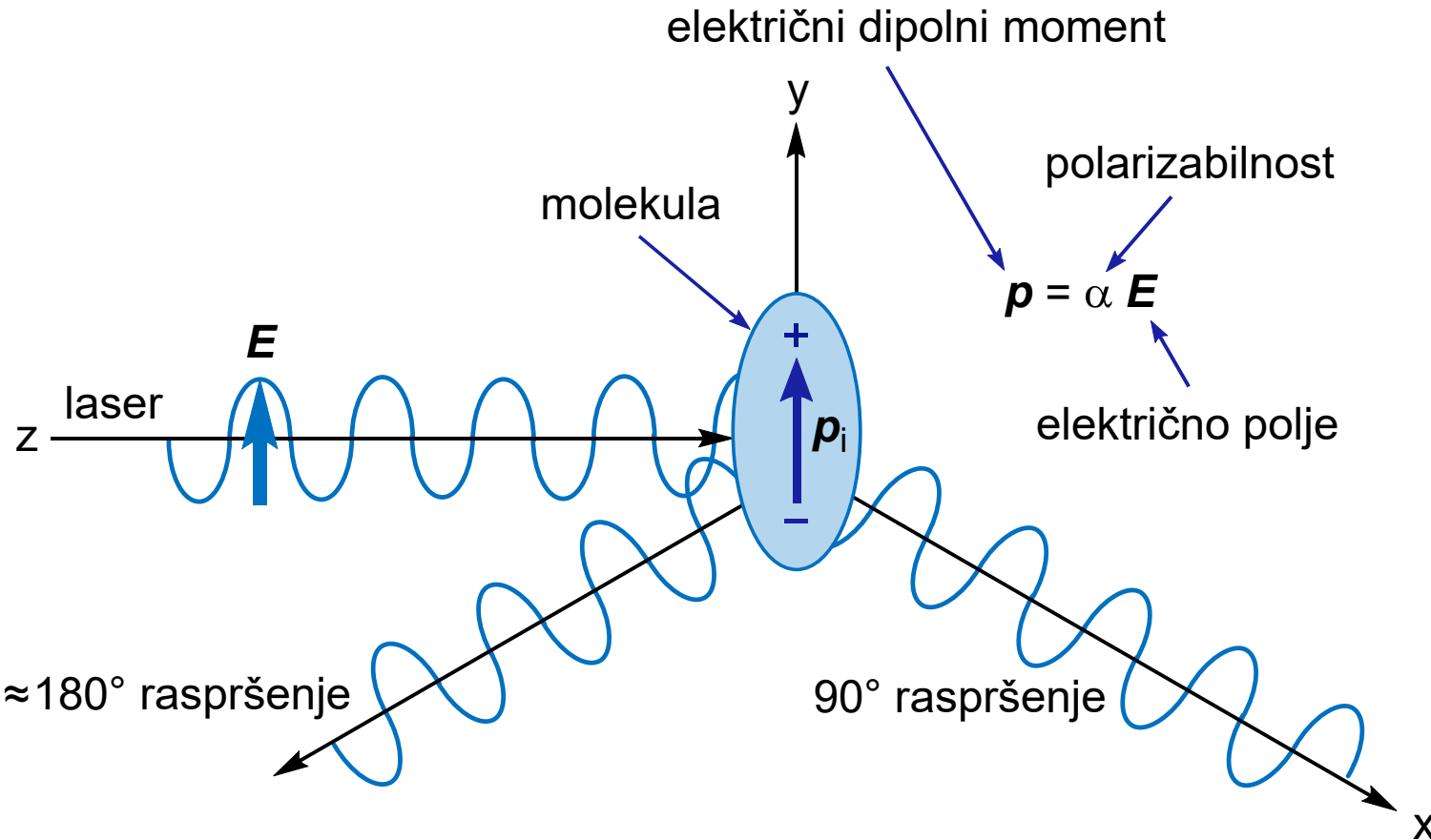
$$\sin \Theta_c = \frac{1,31}{1,95} = 0,672 \Rightarrow \Theta_c = 42,21^\circ$$

$$\sin(a + 3) = \frac{1,31 + 0,2}{1,95} = 0,774 \Rightarrow a + 3 = 50,75^\circ \Rightarrow a = 47,75^\circ$$

# RAMANOVA SPEKTROSKOPIJA

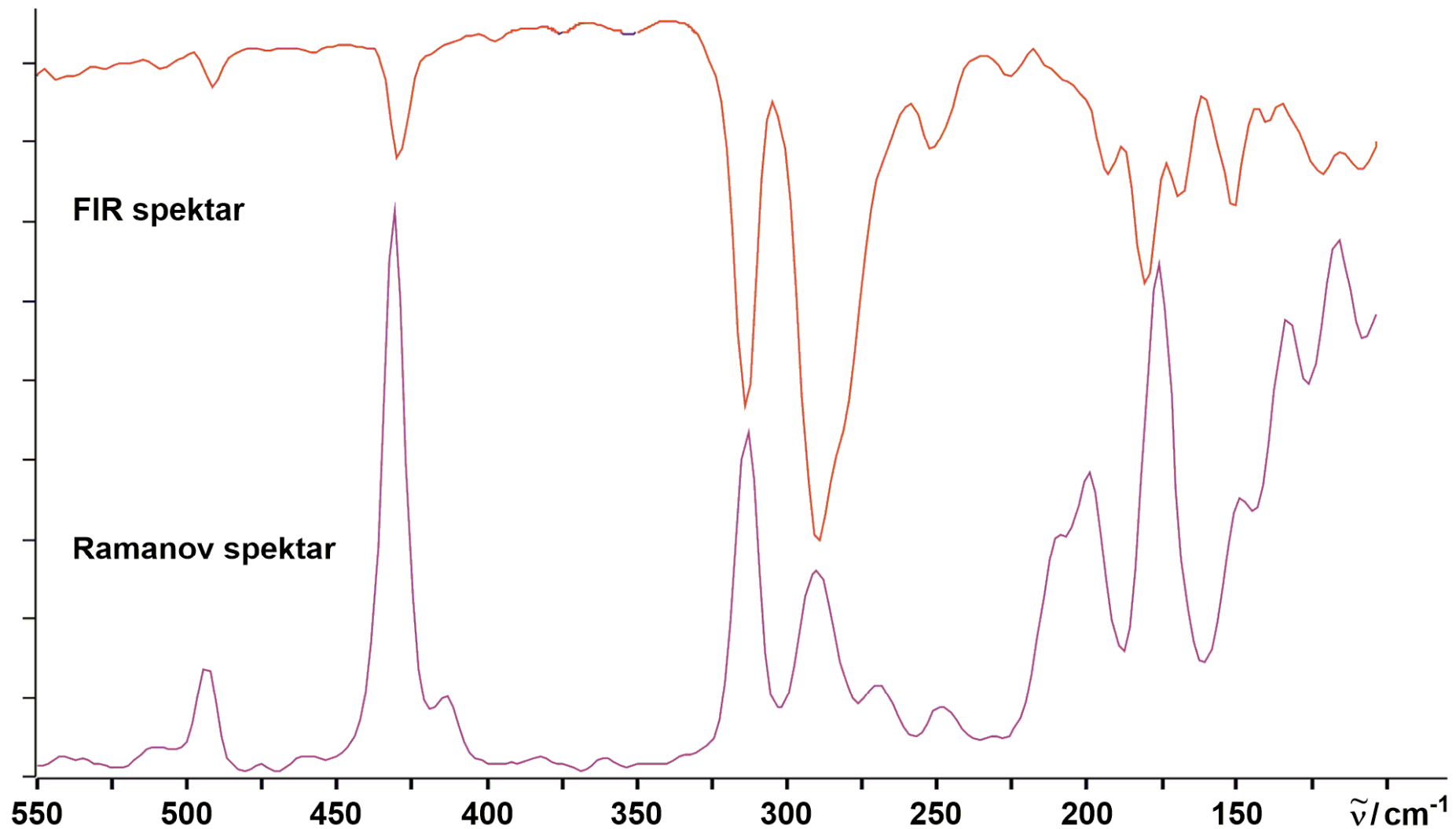
- elastično raspršenje fotona na molekuli - Raylieghovo raspršenje
- neelastično raspršenje fotona na molekuli - Ramanovo raspršenje
  - **Stokesove linije**: smanjenje energije fotona
  - **protu-Stokesove linije**: povećanje energije fotona





### Neelastično raspršenje zračenja na molekuli

- uvjet aktivnosti u Ramanovom spektru:
  - **promjena polarizabilnosti molekule,  $\alpha$**

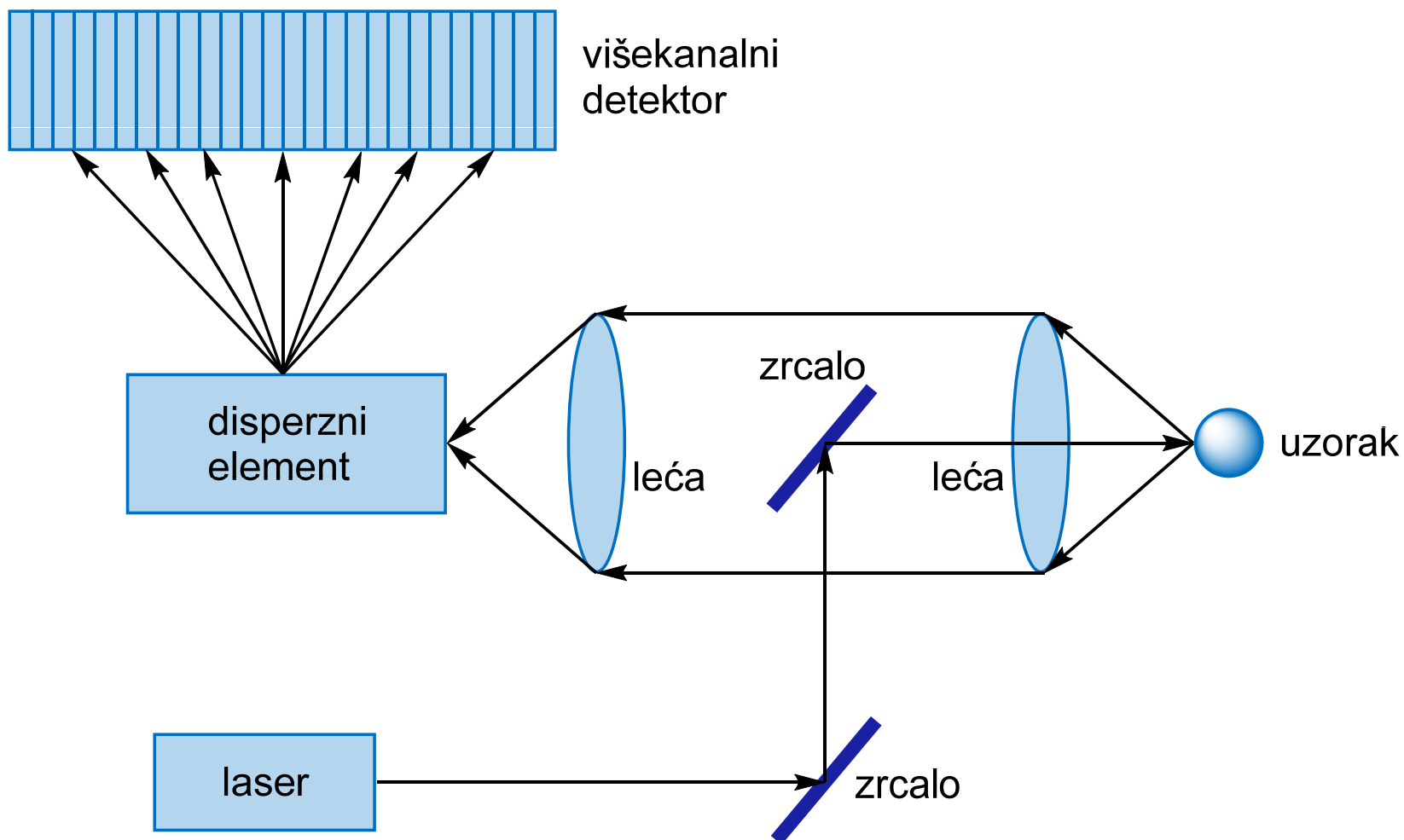


**FIR (gore) i Ramanov (dolje) spektar bakrovog kompleksa - komplementarnost infracrvene i Ramanove spektroskopije**

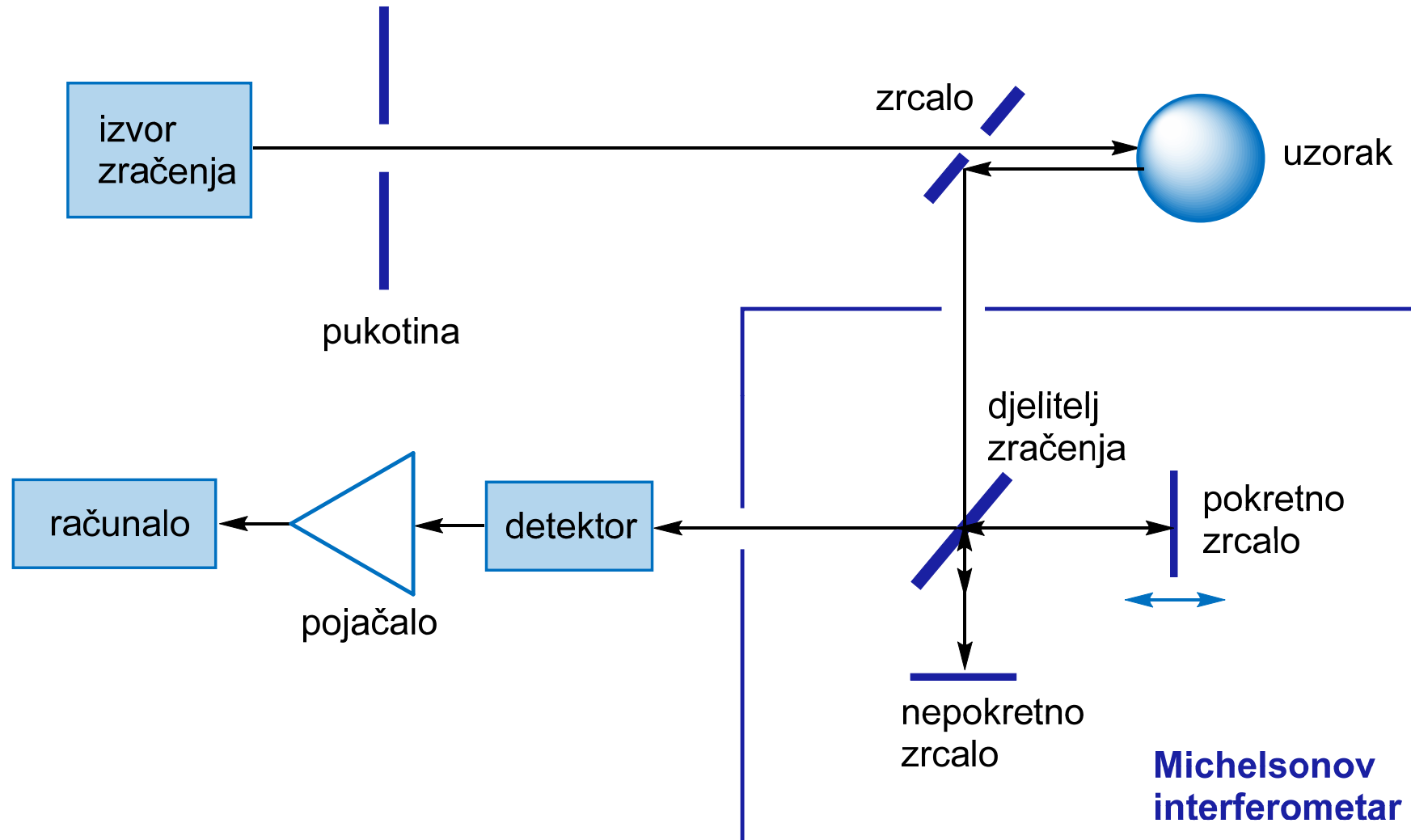
# RAMANOV SPEKTROMETAR

DISPERZNI

FT-RAMAN



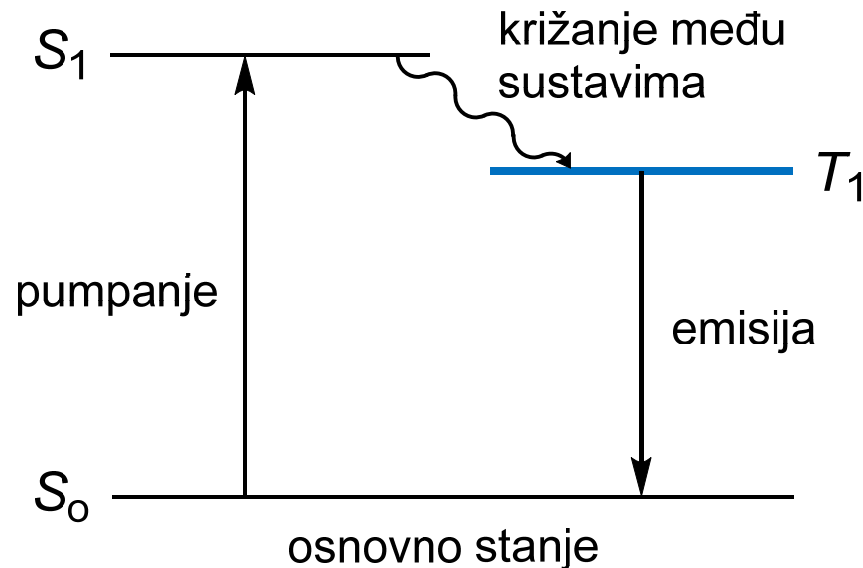
Shematski prikaz disperznog Ramanovog spektrometra



Shematski prikaz FT-Ramanovog spektrometra

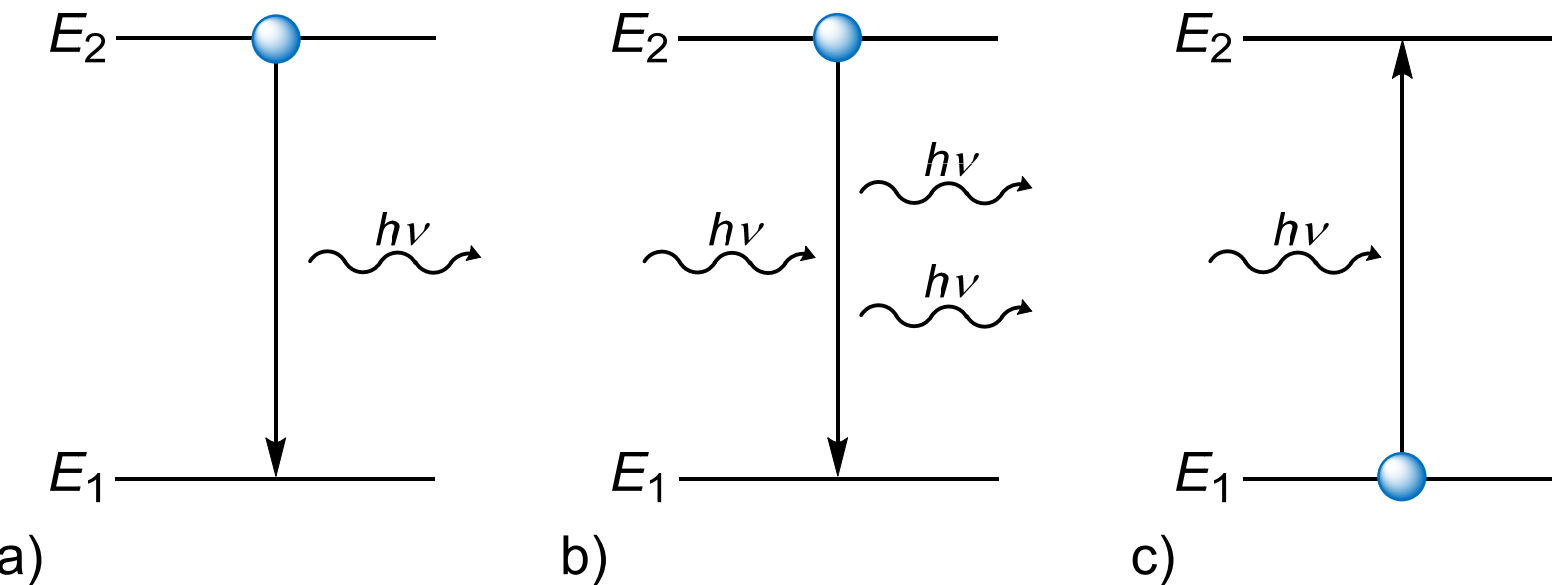
## LASERI

- temelje se na stimuliranoj emisiji elektromagnetskog zračenja
- preduvjet za stimuliranu emisiju je postizanje inverzije napučenosti energijskih stanja
- inverzija napučenosti postiže se “pumpanjem” odnosno prelaskom atoma, iona ili molekula iz osnovnog ( $S_0$ ) u pobuđeno stanje ( $T_1$ )



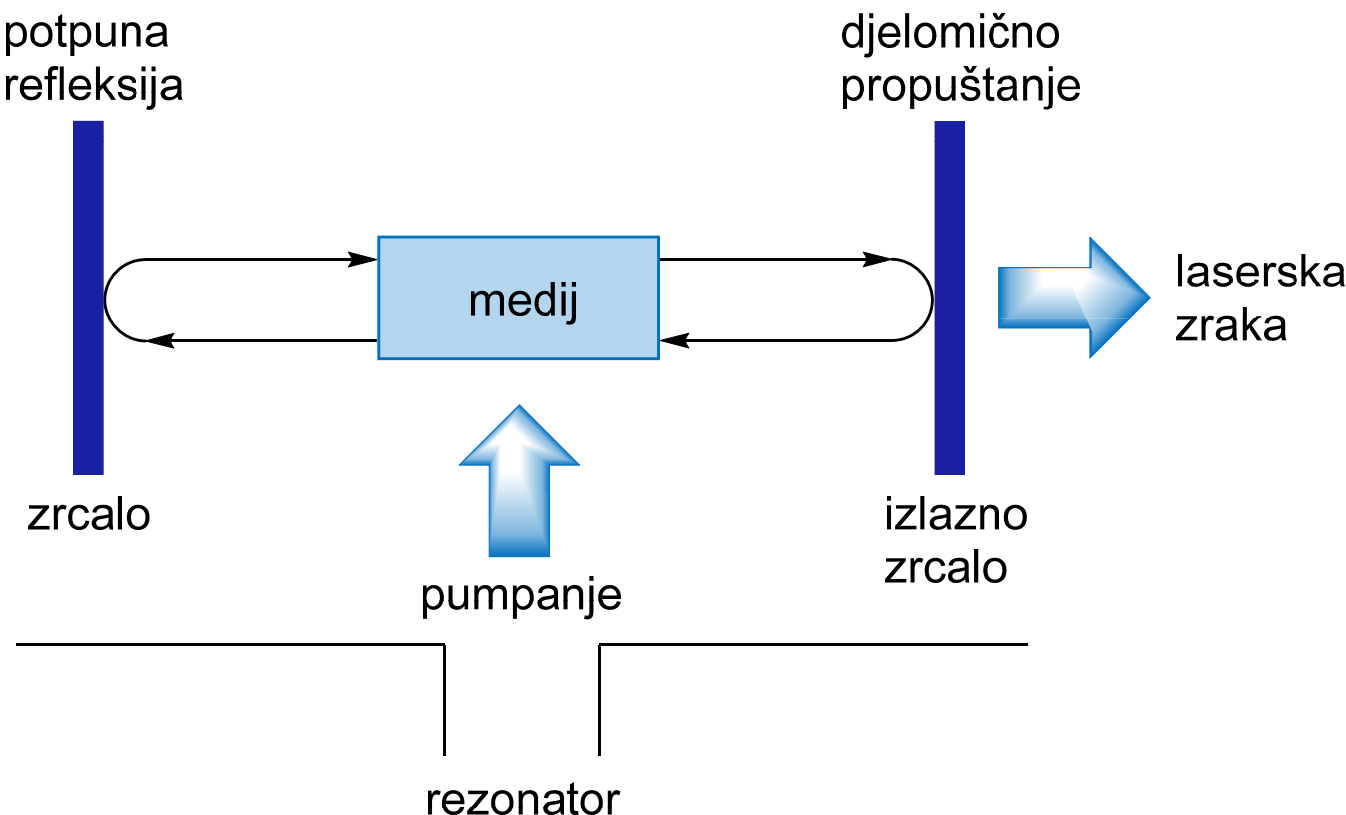
**Osnovni procesi u laseru s tri energijske razine**

- emisija se stimulira zračenjem frekvencije  $\nu$ , koja odgovara razlici u energijama dvaju stanja,  $E_2 - E_1$
- tijekom ovog procesa pobuđeni atomi prelaze u osnovno kvantno stanje uz emisiju velikog broja fotona
- rezultat: koherentno, monokromatsko zračenje velikog intenziteta



**Prikaz: a) spontane emisije; b) stimulirane emisije; c) apsorpcije**

- laser se sastoji od najmanje tri komponente:
  1. medija u kojem se odvija proces stimulirane emisije
  2. izvora zračenja korištenog za proces pumpanja
  3. dva zrcala za hvatanje zračenja



Presjek unutrašnjosti lasera

## NAJVAŽNIJE VRSTE LASERA

### → *He-Ne laser*

- $\lambda = 632,8 \text{ nm}$
- plinski laser
- **izrazito monokromatsko zračenje**
- **relativno povoljan**
- **nizak intenzitet**

### → *Diodni laser*

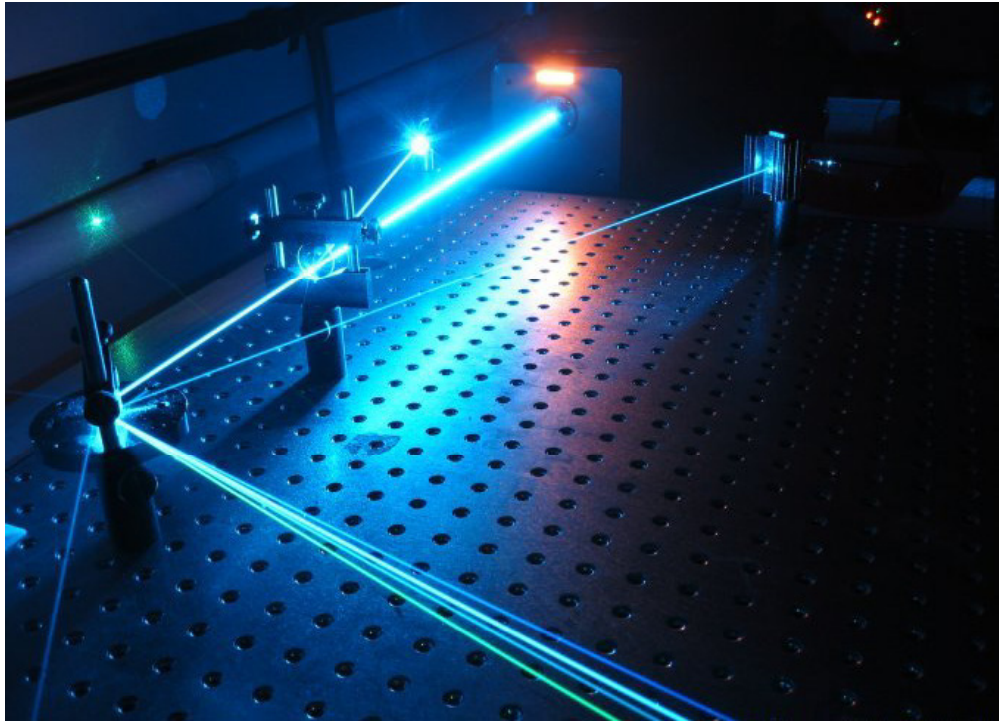
- $\lambda = 785 \text{ nm}$
- poluvodička dioda
- **izdržljiv**
- **male dimenzije**
- **velika snaga**
- **temperaturna osjetljivost**

### → *Nd:YAG laser*

- $\lambda = 1064 \text{ nm}$
- itrijev aluminijev granat (YAG) dopiran neodimijem
- **dugotrajan**
- **male dimenzije**
- **neznatno zagrijavanje**
- **visoka cijena**

### → *Ar-ionski laser*

- $\lambda = 514,5 \text{ nm}$
- plinski laser
- **velik intenzitet**
- **dugotrajan**
- **stabilan**
- **zahtjevan za održavanje**
- **mala efikasnost**

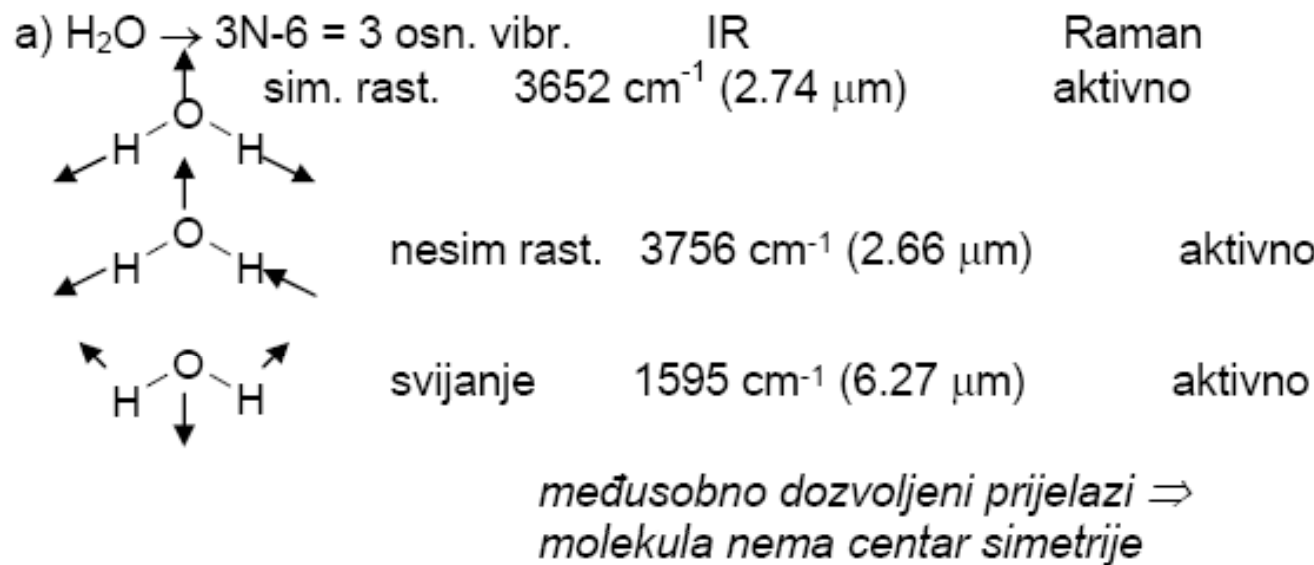


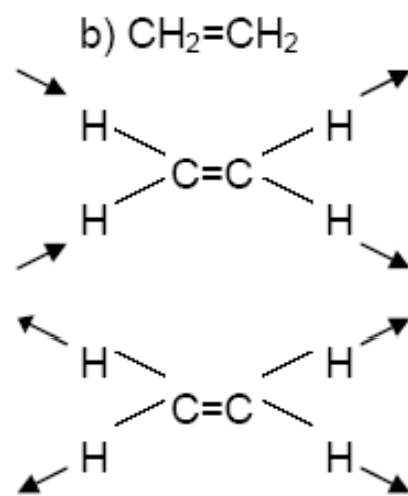
**Ar-ionski laser**  
 $\lambda = 514,5 \text{ nm}$ ;  $P = 500 \text{ mW}$

**Ti-safirni laser,  
Advanced Titanium-sapphire LASer  
(ATLAS, TU München)**  
 $\lambda = 800 \text{ nm}$ ;  $P = 300 \text{ TW}$



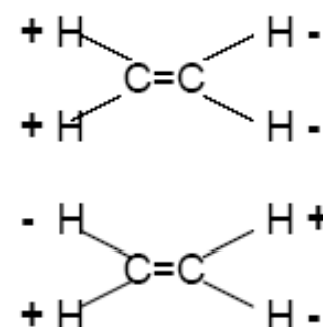
16. Skicirajte osnovne načine vibriranja i navedite koji od njih su aktivni u infracrvenom, a koji u Ramanovom spektru: a) H<sub>2</sub>O; b) C<sub>2</sub>H<sub>4</sub>; c) C<sub>2</sub>H<sub>2</sub>.





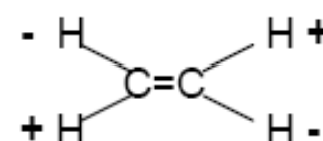
IR  
aktivno

Raman  
neaktivno



neaktivno

aktivno



neaktivno

neaktivno

*za prva tri prijelaza vrijedi pravilo  
međusobnog isključenja  $\Rightarrow$  molekula ima  
centar smetrije  
zadnji prijelaz pripada zabranjenim  
prijelazima*

c) $\text{CH} \equiv \text{CH}$	IR	Raman
$\begin{array}{c} \text{H} & & \text{H} \\ & \swarrow & \searrow \\ \text{H} - & \text{C} \equiv & \text{C} - \text{H} \\ & \text{H} & \end{array}$	sim. rast.	neaktivno 3374 $\text{cm}^{-1}$
$\begin{array}{c} \text{H} & & \text{H} \\ & \leftarrow & \rightarrow \\ \text{H} - & \text{C} \equiv & \text{C} - \text{H} \\ & \text{H} & \end{array}$	sim. rast.	neaktivno 1974 $\text{cm}^{-1}$
$\begin{array}{c} \text{H} & & \text{H} \\ & \rightarrow & \rightarrow \\ \text{H} - & \text{C} \equiv & \text{C} - \text{H} \\ & \uparrow & \uparrow \\ \text{H} - & \text{C} \equiv & \text{C} - \text{H} \\ & \downarrow & \downarrow \\ \text{H} & & \text{H} \end{array}$	nesim. rast. <i>trans-svijanje</i> (dvostruko degen.)	3287 $\text{cm}^{-1}$ neaktivno 612 $\text{cm}^{-1}$
$\begin{array}{c} \text{H} & & \text{H} \\ & \uparrow & \uparrow \\ \text{H} - & \text{C} \equiv & \text{C} - \text{H} \\ & \downarrow & \downarrow \\ \text{H} & & \text{H} \end{array}$	<i>cis-svijanje</i> (dvostruko degen.)	729 $\text{cm}^{-1}$ neaktivno

*vrijedi pravilo međusobnog isključenja  $\Rightarrow$   
molekula ima centar simetrije*

17. Pri kojim se valnim duljinama pojavljuju Stokesove i protu-Stokesove Ramanove linije  $\text{CCl}_4$  ( $\Delta\tilde{\nu} = 218, 314, 459, 762 \text{ i } 790 \text{ cm}^{-1}$ ), ako se kao izvor zračenja koristi:
- helij-neonski laser (632,8 nm);
  - argonski ionski laser (488,0 nm)?

**osnovna formula:**

$$\Delta\tilde{\nu} = \tilde{\nu}_{\text{Raman}} - \tilde{\nu}_{\text{izvor}}$$

$$\text{a)} \lambda_{\text{izvor}} = 632,8 \text{ nm} = 632,8 \times 10^{-7} \text{ cm} \Rightarrow \tilde{\nu} = \frac{1}{\lambda} = \frac{1}{632,8 \times 10^{-7}} = 15802,78 \text{ cm}^{-1}$$

protoStokesove linije:  $\bar{\nu}_{\text{Raman}} = \Delta\bar{\nu} + \bar{\nu}_{\text{izvor}}$

$\Delta\bar{\nu}, \text{cm}^{-1}$	$\bar{\nu}_{\text{Raman}} = \Delta\bar{\nu} + \bar{\nu}_{\text{izvor}}, \text{cm}^{-1}$	$\lambda = 10^7 / \bar{\nu}, \text{nm}$
218	$218 + 15802.78 = 16020.78$	624.19
314	$314 + 15802.78 = 16116.78$	620.47
459	$459 + 15802.78 = 16261.78$	614.94
762	$762 + 15802.78 = 16564.78$	603.69
790	$790 + 15802.78 = 16592.78$	602.67

Stokesove linije:  $\bar{\nu}_{\text{Raman}} = -\Delta\bar{\nu} + \bar{\nu}_{\text{izvor}}$

$\Delta\bar{\nu}, \text{cm}^{-1}$	$\bar{\nu}_{\text{Raman}} = -\Delta\bar{\nu} + \bar{\nu}_{\text{izvor}}, \text{cm}^{-1}$	$\lambda = 10^7 / \bar{\nu}, \text{nm}$
218	$-218 + 15802.78 = 15584.78$	641.65
314	$-314 + 15802.78 = 15488.78$	645.63
459	$-459 + 15802.78 = 15343.78$	651.73
762	$-762 + 15802.78 = 15040.78$	664.86
790	$-790 + 15802.78 = 15012.78$	666.10

$$b) \lambda_{izvor} = 488.0 \text{ nm} = 488.0 \times 10^{-7} \text{ cm}$$

$$\bar{v} = \frac{1}{\lambda} = \frac{1}{488.0 \times 10^{-7}} = 20491.80 \text{ cm}^{-1}$$

protuStokesove linije:  $\bar{v}_{Raman} = \Delta\bar{v} + \bar{v}_{izvor}$

$\Delta\bar{v}, \text{cm}^{-1}$	$\bar{v}_{Raman} = \Delta\bar{v} + \bar{v}_{izvor}, \text{cm}^{-1}$	$\lambda = 10^7 / \bar{v}, \text{nm}$
218	$218 + 20491.80 = 20709.80$	482.86
314	$314 + 20491.80 = 20805.80$	480.64
459	$459 + 20491.80 = 20943.80$	477.47
762	$762 + 20491.80 = 21253.80$	470.50
790	$790 + 20491.80 = 21281.80$	469.89

Stokesove linije:  $\bar{v}_{Raman} = -\Delta\bar{v} + \bar{v}_{izvor}$

$\Delta\bar{v}, \text{cm}^{-1}$	$\bar{v}_{Raman} = -\Delta\bar{v} + \bar{v}_{izvor}, \text{cm}^{-1}$	$\lambda = 10^7 / \bar{v}, \text{nm}$
218	$-218 + 20491.80 = 20273.80$	493.25
314	$-314 + 20491.80 = 20177.80$	495.59
459	$-459 + 20491.80 = 20039.80$	499.01
762	$-762 + 20491.80 = 19729.80$	506.85
790	$-790 + 20491.80 = 19701.80$	507.57

**ALKANI**

<b>Valni broj / cm<sup>-1</sup></b>	<b>Vibracija</b>
2960	$\nu_{as}$ C-H (CH <sub>3</sub> )
2930	$\nu_{as}$ C-H (CH <sub>2</sub> )
2870	$\nu_s$ C-H (CH <sub>3</sub> )
2850	$\nu_s$ C-H (CH <sub>2</sub> )
1470	$\delta_{as}$ CH <sub>3</sub>
1465	$\delta$ CH <sub>2</sub> sc
1380	$\delta_s$ CH <sub>3</sub>
1305	$\delta$ CH <sub>2</sub> wg
1300	$\delta$ CH <sub>2</sub> tw
720	$\delta$ CH <sub>2</sub> rc

**ANHIDRIDI**

<b>Valni broj / cm<sup>-1</sup></b>	<b>Vibracija</b>
1840–1800	$\nu$ C=O
1780–1740	$\nu$ C=O
1300–1100	$\nu$ C-O

**ALDEHIDI I KETONI**

<b>Valni broj / cm<sup>-1</sup></b>	<b>Vibracija</b>
2900–2700	$\nu$ C-H (aldehidi)
1740–1720	$\nu$ C=O (al aldehidi)
1730–1700	$\nu$ C=O (al ketoni)
1720–1680	$\nu$ C=O (ar aldehidi)
1700–1680	$\nu$ C=O (ar ketoni)

**ALKENI**

<b>Valni broj / cm<sup>-1</sup></b>	<b>Vibracija</b>
3100–3000	$\nu$ =C-H
1680–1600	$\nu$ C=C
1400	$\delta$ =C-H ip
1000–600	$\delta$ =C-H oop

**ALKOHOLI I FENOLI**

<b>Valni broj / cm<sup>-1</sup></b>	<b>Vibracija</b>
3600	$\nu$ O-H (alkoholi)
3550–3500	$\nu$ O-H (fenoli)
1300–1000	$\nu$ C-O

**ALKINI**

<b>Valni broj / cm<sup>-1</sup></b>	<b>Vibracija</b>
3300–3250	$\nu$ ≡C-H
2260–2100	$\nu$ C≡C
700–600	$\delta$ ≡C-H

**ETERI**

<b>Valni broj / cm<sup>-1</sup></b>	<b>Vibracija</b>
1300–1000	$\nu$ C-O-C

**AROMATSKI SPOJEVI**

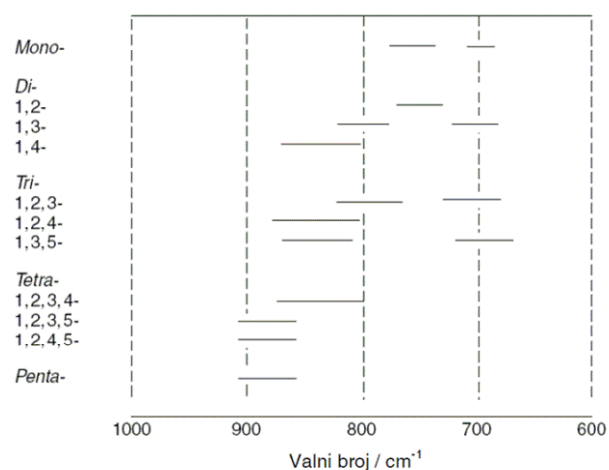
<b>Valni broj / cm<sup>-1</sup></b>	<b>Vibracija</b>
3100–3000	$\nu$ =C-H
2000–1700	viši tonovi; kombinacije
1600–1430	$\nu$ C=C
1275–1000	$\delta$ =C-H ip
900–690	$\delta$ =C-H oop

**AMINI**

<b>Valni broj / cm<sup>-1</sup></b>	<b>Vibracija</b>
3335	$\nu$ N-H (dublet za prim amine; singlet za sek amine)
2780	$\nu$ N-CH <sub>2</sub>
1615	$\delta$ NH <sub>2</sub> sc; $\delta$ -N-H
1360–1250	$\nu$ C-N (ar amini)
1220–1020	$\nu$ C-N (al amini)
850–750	$\delta$ NH <sub>2</sub> wg, tw
715	$\delta$ -N-H wg

**Karakteristične vibracijske vrpce u infracrvenim i Ramanovim spektrima  
(1. dio)**

## IR vrpce supstituiranih benzena



## KARBOKSILNE KISELINE

Valni broj / cm <sup>-1</sup>	Vibracija
3300–2500	v O-H
1700	v C=O
1430	δ C-O-H <sub>ip</sub>
1240	v C-O
930	δ C-O-H <sub>oop</sub>

## ESTERI

Valni broj / cm <sup>-1</sup>	Vibracija
1750–1730	v C=O (al esteri)
1730–1705	v C=O (ar esteri)
1310–1250	v C-O (ar esteri)
1300–1100	v C-O (al esteri)

## AMIDI

Valni broj / cm <sup>-1</sup>	Vibracija
3360–3340	v <sub>as</sub> N-H (NH <sub>2</sub> , prim amidi)
3300–3250	v N-H (sek amidi)
3190–3170	v <sub>s</sub> N-H (NH <sub>2</sub> , prim amidi)
3100–3060	1. viši ton amid II (sek amidi)
1680–1660	v C=O (amid I; prim amidi)
1680–1640	v C=O (amid I; sek amidi)
1650–1620	δ NH <sub>2</sub> (amid II; prim amidi)
1560–1530	δ -N-H, v C-N (amid II; sek amidi)
750–650	δ -N-H <sub>wg</sub> (sek amidi)

## OSTALI SPOJEVI S DUŠIKOM

Valni broj / cm <sup>-1</sup>	Vibracija
2260–2240	v C≡N (al nitrili)
2240–2220	v C≡N (ar nitrili)
2180–2110	v -N≡C (al izonitrili)
2160–2120	v N≡N (azidi)
2130–2100	v -N≡C (ar izonitrili)
1690–1620	v C=N-OH (oksimi)
1680–1650	v N=O (nitriti)
1660–1620	v <sub>as</sub> NO <sub>2</sub> (nitrati)
1615–1565	v C=N, v C=C (piridini)
1560–1530	v <sub>as</sub> NO <sub>2</sub> (al nitro spojevi)
1540–1500	v <sub>as</sub> NO <sub>2</sub> (ar nitro spojevi)
1450–1400	v N=N (azo spojevi)
1390–1370	v <sub>s</sub> NO <sub>2</sub> (al nitro spojevi)
1370–1330	v <sub>s</sub> NO <sub>2</sub> (ar nitro spojevi)
1300–1270	v <sub>s</sub> NO <sub>2</sub> (nitrati)
965–930	v N-O (oksimi)
870–840	v N-O (nitrati)
710–690	δ NO <sub>2</sub> (nitrati)

**Karakteristične vibracijske vrpce u infracrvenim i Ramanovim spektrima  
(2. dio)**

**HETEROCIKLIČKI SPOJEVI**

Valni broj / cm <sup>-1</sup>	Vibracija
3500–3200	v N-H
3080–3000	v C-H
1600–1300	v prsten
800–600	$\delta$ =C-H <sub>oop</sub>

**HALOGENI SPOJEVI**

Valni broj / cm <sup>-1</sup>	Vibracija
1300–1000	v C-F
800–400	v C-X (X = F, Cl, Br, I)

**SPOJEVI S BOROM**

Valni broj / cm <sup>-1</sup>	Vibracija
3300–3200	v B-O-H
2650–2350	v B-H
1465–1330	v B-N
1380–1310	v B-O
1205–1140	$\delta$ -B-H
980–920	$\delta$ BH <sub>2</sub> wg

**SPOJEVI SA SILICIJEM**

Valni broj / cm <sup>-1</sup>	Vibracija
3700–3200	v Si-O-H
2250–2100	v Si-H
1280–1250	$\delta$ Si-CH <sub>3</sub>
1430, 1110	v Si-C <sub>6</sub> H <sub>5</sub>
1130–1000	v Si-O-Si
1110–1050	v Si-O-C

**SPOJEVI SA SUMPOROM**

Valni broj / cm <sup>-1</sup>	Vibracija
2500	v S-H
1390–1290	$\nu_{as}$ SO <sub>2</sub>
1190–1120	$\nu_s$ SO <sub>2</sub>
1060–1020	v S=O
700–600	v C-S
550–450	v S-S

**SPOJEVI S FOSFOROM**

Valni broj / cm <sup>-1</sup>	Vibracija
2700–2100	v O-H (fosforna kiselina i esteri)
2425–2325	v P-H (fosforna kiselina i esteri)
2320–2270	v P-H (fosfini)
1450–1430	v P-C (ar spojevi fosfora)
1350–1300	v P=O (ar spojevi fosfora)
1260–1240	v P=O (al spojevi fosfora)
1250–1160	v P-O (ar spojevi fosfora)
1090–1080	$\delta$ PH <sub>2</sub> (fosfini)
1050–950	$\nu_{as}$ P-O-C (al spojevi fosfora)
1050–870	v P-O (ar spojevi fosfora)
1050–700	v P-F
1040–930	v P-OH (fosforni esteri)
990–910	$\delta$ PH <sub>2</sub> wg (fosfini)
850–500	v P=S
830–750	$\nu_s$ P-O-C (al spojevi fosfora)
600–300	v P-Cl
500–200	v P-Br; v P-S

**Karakteristične vibracijske vrpce u infracrvenim i Ramanovim spektrima  
(3. dio)**



## DODATNI ZADACI

18. Plinoviti HCl ima vrpcu u infracrvenom spektru pri  $2890\text{ cm}^{-1}$ , koja se pojavljuje zbog vibracije istezanja veze vodik-klor.
- Izračunajte konstantu sile veze.
  - Izračunajte valni broj apsorpcijskog maksimuma za molekulu DCI uz pretpostavku da su konstante sile veza HCl i DCI jednake.

rješenja:

a)  $k = 4,79\text{ N cm}^{-1}$

b)  $\tilde{\nu}(\text{D}-\text{Cl}) = 2072\text{ cm}^{-1}$

19. Odredite valni broj vibracije istezanja veze C≡N u molekuli HCN uz pretpostavku da konstanta sile veze iznosi približno  $16\text{ N cm}^{-1}$ .

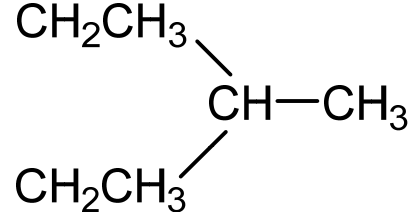
rješenje:

$$\tilde{\nu} = 2049\text{ cm}^{-1}$$

20. Na temelju podataka dobivenih analizom IR spektra odredite strukturu spoja molekulske formule  $C_6H_{14}$ :

- istezanje C–H veze pri  $2960\text{ cm}^{-1}$  i  $2870\text{ cm}^{-1}$ ;
- svijanje metilenske skupine pri  $1461\text{ cm}^{-1}$ ;
- terminalna metilna skupina pri  $1380\text{ cm}^{-1}$ ;
- svijanje u ravnini bez promjene kuta etilne skupine pri  $775\text{ cm}^{-1}$ .

rješenje:



21. Prijelaz između dvije vibracijske energijske razine CO skupine karboksilatnog aniona nekog organskog spoja rezultira IR vrpcem pri  $6,43\text{ }\mu\text{m}$ . Izračunajte:

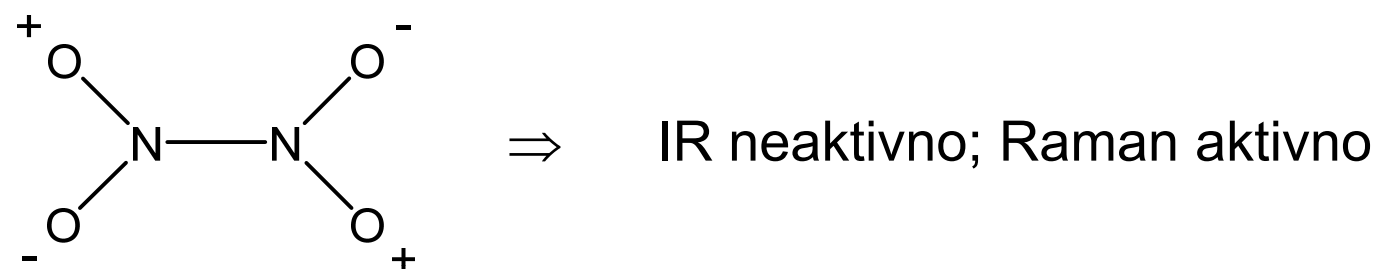
- valni broj ove vrpce;
- frekvenciju vibracije;
- konstantu sile veze C=O skupine ovog spoja.

rješenja:

- $\tilde{\nu} = 1555,21\text{ cm}^{-1}$
- $\nu = 4,67 \cdot 10^{13}\text{ Hz}$
- $k = 9,8\text{ N cm}^{-1}$

22. Skicirajte uvojnu vibraciju planarne molekule  $\text{N}_2\text{O}_4$ , te predvidite hoće li ova vibracija biti aktivna u infracrvenom ili u Ramanovom spektru.

rješenje:



23. Vezanje alilne skupine na krajeve lanca barbiturata povezano je s pojavom snažnih apsorpcijskih vrpcu pri  $10,1$  i  $10,8 \mu\text{m}$ . Kakva bi se promjena u tim apsorpcijskim vrpcama mogla očekivati zamjenom vodikovog atoma na središnjem ugljikovom atomu alilne skupine bromovim atomom?
24. Vibracije ugljikova disulfida koje su aktivne u IR spektru, neaktivne su u Ramanovom spektru i obrnuto. Nasuprot tome, vibracije dušikova(I) oksida su istodobno aktivne i u Ramanovom i u IR spektru. Što se na temelju toga može zaključiti o strukturi  $\text{N}_2\text{O}$  i  $\text{CS}_2$ ? Objasnite!

25. Infracrveni spektar molekule HCN ima tri apsorpcijske vrpce pri 3321, 2089 i  $712\text{ cm}^{-1}$ . Može li se iz ovih podataka zaključiti je li molekula HCN lineama ili svinuta? Objasnite!
26. Koja je razlika između vibracija višeatomnog harmoničnog i neharmoničnog oscilatora? Kako se to odražava na infracrvene i na Ramanove spektre?
27. Skicirajte najvažnije vibracije u IR i Ramanovim spektrima *cis*- i *trans*-1,2-dikloretilena.
28. a) Što je električni dipolni moment? Koja je njegova uloga u nastanku spektara IR?  
b) Što je polarizabilnost? Koja je njegova uloga u nastanku Ramanovih spektara
29. a) Poredajte prema padajućim vrijednostima valnih brojeva: C=O, C–H, O–H.  
b) "Nujol" je tržišni naziv alifatskog ugljikovodika koji se rabi kao sredstvo za razmuljivanje krutih uzoraka u analizi promoću spektroskopije IR. Može li se "Nujol" koristiti za analizu spojeva s navedenim funkcijskim skupinama? Objasnite.

30. Koja je osnovna apsorpcijska frekvencija (Hz) neke vibracije, ako je prvi gornji ton (viši harmonik) opažen pri  $1820 \text{ cm}^{-1}$ ?

rješenje:  $\tilde{\nu} = 910 \text{ cm}^{-1}$

31. Odredite valne brojeve apsorpcijskih maksimuma na temelju priloženih vrijednosti konstanti sile veze, uz pretpostavku da se radi o jednostavnim dvoatomnim molekulama:

- a) C–H veza u etanu ( $k = 5,1 \text{ N cm}^{-1}$ );
- b) C–H veza u acetilenu ( $k = 5,9 \text{ N cm}^{-1}$ );
- c) C=C veza u benzenu ( $k = 7,6 \text{ N cm}^{-1}$ );
- d) C≡N veza u acetonitrilu ( $k = 17,5 \text{ N cm}^{-1}$ );
- e) C–C veza u etanu ( $k = 4,5 \text{ N cm}^{-1}$ );
- f) C=O veza u formaldehidu ( $k = 12,3 \text{ N cm}^{-1}$ ).

rješenja:

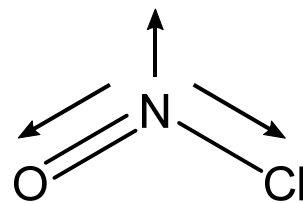
- a)  $\tilde{\nu} = 3060 \text{ cm}^{-1}$
- b)  $\tilde{\nu} = 3283 \text{ cm}^{-1}$
- c)  $\tilde{\nu} = 1466 \text{ cm}^{-1}$
- d)  $\tilde{\nu} = 2143 \text{ cm}^{-1}$
- e)  $\tilde{\nu} = 1128 \text{ cm}^{-1}$
- f)  $\tilde{\nu} = 1745 \text{ cm}^{-1}$

32. Svinuta troatomna molekula NOCl ima jake apsorpcijske vrpce pri  $5,56 \mu\text{m}$ ,  $16,89 \mu\text{m}$  i  $30,10 \mu\text{m}$ . Skicirajte osnovne načine vibriranja NOCl i pripišite ih odgovarajućim apsorpcijskim vrpcama.

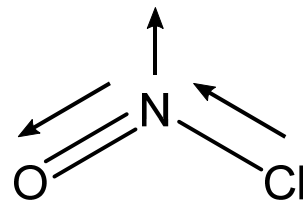
rješenje:

Osnovne vibracije

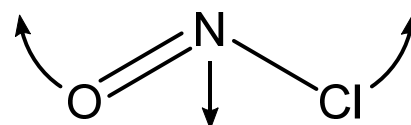
1. simetrično istezanje ( $16,89 \mu\text{m}$ )



2. nesimetrično istezanje ( $5,56 \mu\text{m}$ )



3. svijanje ( $30,10 \mu\text{m}$ )



33. IR spektar  $\text{N}_2\text{O}$  ima jake apsorpcijske vrpce pri  $2224$ ,  $1285$  i  $579 \text{ cm}^{-1}$ , te nekoliko vrpcâ manjeg intenziteta pri  $2563$  i  $2798 \text{ cm}^{-1}$ . Na temelju činjenice da je  $\text{N}_2\text{O}$  linearna molekula i navedenih podataka, utvrdite je li raspored atoma u molekuli  $\text{N}-\text{N}-\text{O}$  ili  $\text{N}-\text{O}-\text{N}$ . Koji se načini vibracije mogu pripisati spomenutim apsorpcijskim vrpcama?

rješenje:

Raspored atoma u molekuli je  $\text{N}-\text{N}-\text{O}$ .

34. Prisutnost etena u uzorcima etana može se odrediti mjeranjem apsorbancije pri  $2080 \text{ cm}^{-1}$ . Na temelju navedenih podataka odredite maseni udio etena (%) u nekom uzorku etana, za koji je mjeranjem istim instrumentom i u istoj mjernej posudici određena apsorbancija vrijednosti  $0,412$ .

% etena	0,50	1,00	2,00	3,00
apsorbancija	0,12	0,24	0,48	0,72

rješenje:

$$w(\text{eten}) = 1,72 \%$$

35. Izračunajte najmanje koncentracije navedenih spojeva koje se mogu detektirati, ako se mjerena provode u kivetama debljine 0,05 mm, a transmitancija se na IR spektrometru može očitati s točnošću od 1%.

- |   |  |
|---|--|
| a) fenol pri $3600\text{ cm}^{-1}$        | $\varepsilon = 5000\text{ L mol}^{-1}\text{ cm}^{-1}$  |
| b) anilin pri $3480\text{ cm}^{-1}$       | $\varepsilon = 2000\text{ L mol}^{-1}\text{ cm}^{-1}$  |
| c) akrilonitril pri $2250\text{ cm}^{-1}$ | $\varepsilon = 590\text{ L mol}^{-1}\text{ cm}^{-1}$   |
| d) aceton pri $1720\text{ cm}^{-1}$       | $\varepsilon = 8100\text{ L mol}^{-1}\text{ cm}^{-1}$  |
| e) izocijanat pri $2100\text{ cm}^{-1}$   | $\varepsilon = 17000\text{ L mol}^{-1}\text{ cm}^{-1}$ |

rješenja:

- a)  $c = 1,75 \cdot 10^{-4}\text{ mol L}^{-1}$
- b)  $c = 4,36 \cdot 10^{-4}\text{ mol L}^{-1}$
- c)  $c = 1,48 \cdot 10^{-3}\text{ mol L}^{-1}$
- d)  $c = 1,08 \cdot 10^{-4}\text{ mol L}^{-1}$
- e)  $c = 5,14 \cdot 10^{-5}\text{ mol L}^{-1}$